

Inhaltsverzeichnis

Abstract

Schlüsselwörter

Allgemeine Zusammenfassung

Einleitung

Materialien und Methoden

Ergebnisse

Diskussion

Schlussfolgerung

Literaturverzeichnis

Danksagung

Erklärung zu Interessenkonflikten

Urheberrechtshinweis

Glossar

Rechtlicher Hinweis

Selbstassemblierende Nanostrukturen in Blut und Urin: Implikationen für Bioakkumulation und Detoxifikation

Abstract

Strukturelle Anomalien im Blut – insbesondere Vesikel, Kristalle und Kolloide – ermöglichen Einblicke in pathologische Prozesse und könnten auf das Vorhandensein verborgener, synthetischer Architekturen hindeuten. Diese Formationen wurden zunächst in pharmazeutischen Produkten, darunter Impfstoffen und Anästhetika, beobachtet und später im Blut und Urin exponierter Personen nachgewiesen, was eine Kontinuität zwischen injizierbaren Substanzen und internen Strukturen nahelegt.

Wiederkehrende Morphologien umfassen kristalline Gitterstrukturen, fadenartige Fasern, Vesikel-enthaltende Motive und kolloidale Phasen. Diese Formen entstehen durch dynamische Selbstassemblierung und persistieren sowohl in getrockneten Proben als auch in lebenden Systemen.

Geometrische Regelmäßigkeit, modulare Konnektivität und die Reaktion auf elektromagnetische Felder legen konstruierte Eigenschaften nahe, anstatt eine zufällige Kontamination.

Ähnliche Strukturen wurden inzwischen in Fischen und mindestens drei verschiedenen Säugetierarten beobachtet. Unveröffentlichte Untersuchungen deuten ebenfalls auf vergleichbare Anomalien in veterinärmedizinischen Impfstoffen und injizierbaren Medikamenten hin, was ein breiteres Muster einer speziesübergreifenden Exposition nahelegt.

Ergänzende Signalanalysen zeigen persistente Emissionen in der Nähe exponierter Individuen, die durch begrenzte Entropie, feste Intervalle und strukturelle Einheitlichkeit über verschiedene Adressen hinweg gekennzeichnet sind – Eigenschaften, die nicht mit standardmäßigem drahtlosen Verhalten vereinbar sind und auf algorithmische Muster hindeuten. Diese Eigenschaften stützen die Annahme eines verborgenen Signalsystems, das an der bio-digitalen Schnittstelle operiert.

Zusammen deuten die Ergebnisse der Mikroskopie und die Signalnachweise auf die Entstehung einer postbiologischen Kommunikationsarchitektur hin, die in die menschliche Biologie eingebettet ist. Die Konvergenz von strukturierten Materialien und Übertragungsmustern wirft dringende Fragen bezüglich Funktion, Absicht und Kontrolle auf. Die hier beschriebenen Phänomene sind sichtbar, reproduzierbar und bedürfen einer sofortigen, unabhängigen wissenschaftlichen Untersuchung.

Schlüsselwörter: Blutmikroskopie, synthetische Biomaterialien, kristalline Selbstassemblierung, Vesikel, Kristalle, Kolloide, pharmazeutische Nanostrukturen, speziesübergreifende Kontamination, veterinärmedizinische Exposition, bio-digitale Schnittstelle, verdeckte Signalsysteme, synthetische Nanonetzwerkschicht, postbiologische Kommunikation, elektromagnetische Empfindlichkeit, injizierbare Architekturen, Dunkelfeldmikroskopie, regulatorische Untätigkeit.

Allgemeine Zusammenfassung

Seit 2021 haben Forschende mittels Mikroskopie auffällige und konsistente Muster in medizinischen Produkten wie Impfstoffen und Anästhetika beobachtet. Diese umfassen winzige Kristalle, Fasern und vesikelartige Strukturen, die keinen bekannten biologischen Strukturen zugeordnet werden können. Besonders besorgniserregend ist, dass ähnliche Strukturen nun im Blut und Urin von Personen nachgewiesen werden, die diesen Produkten exponiert waren. Dies legt nahe, dass Bestandteile der Injektionen diese Formationen im Körper aufbauen oder deren Bildung induzieren könnten.

Die Muster weisen eine hohe Organisation auf – sie zeigen Symmetrie, Konnektivität und sogar Reaktionen auf elektromagnetische Felder. Es scheint sich nicht um eine zufällige Kontamination zu handeln. Vielmehr scheinen sie sich selbst zu assemblieren und verhalten sich eher wie entwickelte Systeme denn wie natürliche Substanzen. Diese Erkenntnisse beschränken sich nicht auf den Menschen. Ähnliche Materialien wurden in Fischen und mindestens drei Säugetierarten beobachtet, und erste Forschungsergebnisse legen nahe, dass die gleiche Kontamination in Tierarzneimitteln vorliegt. Neben diesen physischen Strukturen besteht eine weitere Besorgnis: In der Nähe von geimpften Personen wurden ungewöhnliche drahtlose Signale detektiert. Diese Signale sind nicht an übliche Bluetooth-Geräte gebunden. Stattdessen scheinen sie einer verborgenen Logik zu folgen – sie wiederholen sich in regelmäßigen Intervallen und weisen strukturierte Muster mit geringer Entropie auf. Dies deutet auf ein mögliches „Broadcast-System“ hin, das von der Standardtechnologie nicht erkannt wird.

Zusammengenommen werfen diese Entdeckungen gravierende Fragen auf. Handelt es sich um die frühen Stadien eines verborgenen technologischen Systems, das innerhalb lebender Organismen aktiviert wird? Könnten diese Formationen und Signale Teil eines umfassenderen Plans sein, der der Öffentlichkeit bisher vorenthalten wurde?

Diese Beobachtungen sind keine Theorien – sie sind mikroskopisch sichtbar und in der Umwelt messbar. Sie erfordern die dringende Aufmerksamkeit von Wissenschaftlern, Aufsichtsbehörden und der Öffentlichkeit. Wenn diese Strukturen real sind – und die Beweislage deutet darauf hin –, dann ist eine offene, unabhängige Untersuchung unerlässlich.

Einleitung

Die vorliegende Studie untersucht die Verschlechterung der Blutzusammensetzung und postuliert, dass strukturelle Anomalien – insbesondere Vesikel, Kristalle und Kolloide – den deutlichsten Einblick in zugrunde liegende pathologische Prozesse und die möglicherweise verborgenen Intentionen solcher Strukturen bieten. Gleichzeitig weisen diese Formationen auf Therapieansätze hin, die von der etablierten Medizin vernachlässigt oder gar aktiv unterbunden wurden. Beginnend Anfang 2021 offenbarte die Mikroskopie von Impfstoffinhalten strukturelle Muster – Vesikel, Kristalle und Kolloide –, die stark jenen ähnelten, welche später im Blut exponierter Personen beobachtet wurden. Dies wirft Fragen hinsichtlich der Zusammensetzung dieser Produkte und ihrer möglichen, gezielten Entwicklung auf.

Diese Beobachtungen stimmen mit mikroskopischen Untersuchungen unabhängiger Forscher überein, die strukturelle Anomalien im Blut geimpfter Personen dokumentierten. Cipelli et al. (2022) berichteten über das konsistente Vorhandensein von kristallinen Thrombozyten, fibrösen Einschlüssen und nanoskaligen Partikeln – von denen keine in ungeimpften Kontrollgruppen auftraten – in einer großen Patientenkohorte. Mithilfe von Dunkelfeld- und Elektronenmikroskopie wiesen sie nach, dass diese Strukturen unterschiedliche Morphologien und Elementsignaturen aufwiesen, die mit einem synthetischen oder technisch erzeugten Ursprung vereinbar sind. Die Ergebnisse wurden Anfang 2022 in einer begutachteten Fachzeitschrift publiziert, erfuhren aber seither – trotz ihrer Tragweite – weder eine substantielle Widerlegung noch Folgeuntersuchungen oder eine regulatorische Reaktion. Das anhaltende Schweigen bezüglich dieser Arbeit steht in deutlichem Widerspruch zur Dringlichkeit ihrer Ergebnisse.

Im Oktober 2022 veröffentlichte David Hughes eine detaillierte Zusammenfassung anomaler Strukturen, die im Blut geimpfter Personen beobachtet wurden. Gestützt auf die Arbeit unabhängiger Forscher, Kliniker und Anwender der Mikroskopie erfasste seine Publikation eine konsistente Anordnung von Merkmalen: fadenartige Filamente, strukturierte Einschlüsse, kristalline Geometrien und optisch aktive Partikel (Hughes 2022). Diese wiederkehrenden Strukturen – die über verschiedene geografische Regionen und Bildgebungsverfahren hinweg beobachtet wurden – konnten nicht durch konventionelle hämatologische Klassifizierungen erfasst werden. Hughes argumentierte, dass ihre Reproduzierbarkeit sowie der zeitliche Zusammenhang mit der Impfstoffexposition auf einen technischen oder nicht-biologischen Ursprung schließen lassen. Seine Überprüfung stellte die bis dato umfassendste Anstrengung dar, Ergebnisse der Mikroskopie aus aller Welt zusammenzutragen, und unterstrich die dringende Notwendigkeit einer formellen Untersuchung – eine Forderung, die weiterhin unerhört bleibt.

Aufbauend auf den Ergebnissen der Mikroskopie präsentierten Kyrie und Broudy (2022) einen theoretischen Rahmen, um die Präsenz synthetischer Strukturen im Körper als Indiz für einen umfassenderen technologischen Einsatz zu interpretieren. Anstatt diese Befunde als vereinzelte Anomalien zu betrachten, postulierten sie, dass solche Einschlüsse Teil eines verteilten technologischen Systems sein könnten – eines von ihnen so bezeichneten Bio-Nano-Panoptikums. Gestützt auf militärische Berichte, wissenschaftliche Patente und Verhaltensforschungsprogramme argumentierten sie, dass Injektionen als Verabreichungssysteme für funktionelle Nanostrukturen dienen könnten, welche zur Kommunikation, zum Datenaustausch und zur physiologischen Modulation befähigt sind.

Ihre Analyse deutete die mikroskopischen Befunde nicht als zufällige Kontamination, sondern als physische Infrastruktur um – eine synthetische Netzwerkarchitektur, eingebettet im Körper. Indem sie diese Strukturen in den Kontext dokumentierter Fortschritte in Kybernetik, KI und Überwachungstechnologie einordneten, betonten Kyrie und Broudy die potenziellen Konsequenzen der Ignoranz dieses sich entwickelnden Paradigmas – sowie die systemische Verweigerung, es zu untersuchen.

Diese Studie baut unmittelbar auf dieser Entwicklung auf. Der Rest dieser Einleitung fasst die Ergebnisse der Mikroskopie zusammen, erweitert sie um eine Signalanalyse und kontextualisiert die vorliegenden Befunde aus Blut und Urin. In einer Reihe mikroskopischer Untersuchungen habe ich das Vorhandensein komplexer, selbstassemblierender Strukturen in verschiedenen pharmazeutischen Produkten dokumentiert, darunter der Pfizer-BioNTech COVID-19 Impfstoff sowie sowohl zahnärztliche als auch nicht-zahnärztliche Anästhetika. Mittels Dunkelfeldmikroskopie und der Trocknung sitzender Tropfen konnte ich zeigen, dass diese Materialien kristalline Gitter, fadenartige Fasern, vesikelhaltige Strukturen und kolloidale Phasen bilden – Strukturen, die durch dynamische Prozesse entstehen und sowohl in getrockneten Proben als auch in frischem Blut nachweisbar sind.

Diese Gebilde verhalten sich nicht wie zufällige Verunreinigungen; Sie weisen wiederkehrende Geometrien, modulare Konnektivität und, in einigen Fällen, eine Reaktion auf elektromagnetische Felder auf – Eigenschaften, die mit synthetischen Designprinzipien übereinstimmen, wie unabhängig davon von Lee und Broudy (2024a) berichtet wurde. Wenn derartige Strukturen in unterschiedlichen Produkten und biologischen Proben beobachtet werden, stellt sich nicht mehr die Frage nach ihrer Existenz, sondern nach ihrer Funktion. Es bedarf weiterer Untersuchungen.

Wie Hughes (2024) argumentiert, könnte deren Verschleierung auf eine tiefere Konvergenz zwischen Synthetischer Biologie, Verhaltenssteuerung und den Zielen technokratischer Steuerung hindeuten.

Ähnliche Strukturen wurden inzwischen in Blut- und Gewebeproben von Fischen und diversen Säugetierspezies beobachtet, wodurch die Besorgnis über den menschlichen Bereich hinaus erweitert wird. Nicht veröffentlichte Untersuchungen haben zudem vergleichbare kristalline und kolloidale Anomalien in Veterinärimpfstoffen und injizierbaren Medikamenten dokumentiert, was darauf schließen lässt, dass dieses Phänomen ein systemisches Merkmal der pharmazeutischen Herstellung oder Verabreichung darstellen könnte. Diese Erkenntnisse legen die Möglichkeit eines speziesübergreifenden Expositionsmechanismus nahe, der unterhalb der Wahrnehmungsschwelle der Aufsichtsbehörden agiert.

Diese physikalischen Strukturen sind nicht der Endpunkt der Untersuchung; sie stellen den Ausgangspunkt für ein umfassenderes System von Interaktionen dar. In nachfolgenden Untersuchungen analysierte ich sowohl meine eigenen aktuellen Bluetooth-Scans als auch umfangreiche, unabhängige Datensätze aus den Jahren 2021, 2023 und 2025, wobei der Fokus auf Emissionen in der Nähe geimpfter Personen lag. Während die umfangreichen Datensätze Daten auf Adressenebene erfassten, beinhalteten meine kleineren Datensätze Messungen der Paketintervalle, welche Muster persistenter, nicht registrierter Signale offenbarten, die sich einer konventionellen Erklärung entziehen.

Diese Emissionen wiesen strukturierte Eigenschaften auf: eingeschränkte Entropieprofile, festgelegte Übertragungsintervalle und eine hohe Bitfeldähnlichkeit über verschiedene MAC-Adressen hinweg – Merkmale, die nicht mit dem üblichen Bluetooth-Verhalten konsistent sind und auf ein koordiniertes Signalprotokoll hindeuten. Diese Muster legten die Existenz eines verborgenen Broadcast-Systems nahe – eine synthetische Nano-Netzwerk-Schicht, die algorithmisch Emissionsvorlagen generieren kann, anstatt sich auf konventionelle Hardware-Identifikatoren zu stützen.

Zusammengefasst deuten die Beweise auf die unauffällige Aktivierung einer postbiologischen Kommunikationsschicht hin – die nicht zur Heilung, sondern zur Interaktion entwickelt wurde. Diese Verlagerung deutet den Körper als programmierbaren Endpunkt in einer umfassenderen Signalarchitektur, in der Emissionen, Verhalten und sogar Kognition einer externen Modulation unterliegen könnten. Das regulatorische Schweigen zu dieser Thematik ist nicht auf mangelnde technologische Präzedenzfälle zurückzuführen: Die hier beschriebene Architektur passt in Rahmen, die bereits in der Fachliteratur zu Bio-Nano-Kommunikationssystemen, dem Internet der Körper und der Synthetischen Biologie umrissen werden.

Die vorliegende Studie präsentiert neue mikroskopische Befunde aus Blut- und Urinproben, die in den Jahren 2024 und 2025 gewonnen wurden. Diese Ergebnisse erweitern die zuvor in Impfstoffrückständen und Anästhetikazubereitungen beobachteten Strukturmuster auf lebende Systeme und zeigen eine Kontinuität zwischen injizierbaren Materialien und der internen Architektur. Die hier dokumentierten Formen – Kristalle, Vesikel, Kolloide und Hybridverbundstoffe – ähneln jenen, die in pharmazeutischen Studien gefunden wurden. In ihrer Gesamtheit werfen diese Phänomene dringende Fragen hinsichtlich der Absicht, potenzieller Schäden und der systemischen Weigerung auf, offenkundige Tatsachen zu untersuchen. Wenn Hughes uns hilft, das makroskopische Terrain der Verschleierung zu erkennen, bietet die synthetische Nanonetzwerkschicht eine konkrete Funktionshypothese – die darauf hindeutet, dass das, was wir beobachten, Teil eines eingebetteten Kommunikationssystems sein könnte. Was folgt, ist nicht spekulativ – es ist sichtbar.

Materialien und Methoden

Spezifikationen des Mikroskops

Die Mikroskopie erfolgte unter Verwendung eines Neogenesis System 9W LED Mikroskops, ausgestattet mit Hellfeld- und Dunkelfeld-Kondensoren. Die Bildaufnahme erfolgte mit einer HDMI HD USB-Kamera mit einer maximalen Auflösung von 3264×1836 Pixel.

- **Hellfeld-Kondensor:** Abbe-Kondensor mit Mattfilter (NA = 1,25)
- **Dunkelfeldkondensor:** Öl-Immersions-Kardioidtyp

Objektträgerpräparation

Mikroskopieobjektträger (Livingstone International Pty Ltd.) wiesen die Maße $76,2 \times 25,4$ mm und eine Dicke von 0,8–1,0 mm auf. Vor Gebrauch wurden die Objektträger mit sterilen 70%igen Isopropylalkoholtupfern gereinigt und mit Kimwipes (Kimtech Delicate Task Wipers) getrocknet, um Partikelkontamination zu minimieren. Deckgläser (22×40 mm Borosilikatglas, Livingstone) dienten zur Probenmontage.

Probenentnahme und Probenvorbereitung

Kapillarblut wurde unter aseptischen Bedingungen mittels steriler Einweglanzette entnommen. Ein Tropfen wurde umgehend auf einen präparierten Objektträger aufgetragen, mit einem Borosilikatglas-Deckglas bedeckt und ohne Zusatz von Antikoagulanzen oder Fixiermitteln analysiert. Die Bildgebung erfolgte ohne Verzögerung sowohl im Hellfeld als auch im Dunkelfeld.

Kontrollen und Kontaminationsaspekte

In dieser spezifischen Studie wurden keine parallelen Kontrollproben (z. B. Kochsalzlösung, destilliertes Wasser) berücksichtigt. Frühere Forschungsarbeiten mit pharmazeutischen Proben, einschließlich des Pfizer-BioNTech COVID-19 Impfstoffs, umfassten jedoch umfassende Kontrollen zur Vermeidung von Kontaminationen, um Artefakte bei der Mikroskopie oder präparationsbedingte Anomalien auszuschließen. Diese früheren Kontrollen bestätigten, dass die beobachteten Strukturen nicht durch Handhabungs- oder Bildgebungstechniken entstanden sind. Zukünftige Studien sollten die Kontrollbedingungen erweitern, um Umwelt- und Verfahrensvariablen bei der Analyse biologischer Flüssigkeiten zu berücksichtigen.

Für die Bildgebung wurde ein Neogenesis System 9W LED Mikroskop verwendet, ausgestattet mit Hellfeld- und Dunkelfeld-Kondensoren sowie einer HDMI HD USB-Kamera (maximale Auflösung: 3264×1836).

- Hellfeld-Kondensor: Abbe-Kondensor mit mattiertem Filter (numerische Apertur NA = 1.25)
- Dunkelfeld-Kondensor: Öl-Immersions-Kardioid-Dunkelfeldkondensor

Objektträgerpräparation

Es wurden Objektträger (Livingstone International Pty Ltd.) mit den folgenden Spezifikationen verwendet:

- Dicke: 0,8–1,0 mm

- Abmessungen: 76,2 × 25,4 mm

Objektträger wurden vor der Verwendung mit einem sterilen Tupfer mit 70%igem Isopropylalkohol gereinigt, um Restkontaminationen zu entfernen. Anschließend wurden sie mit einem Kimwipes Kimtech Wischtuch für empfindliche Arbeiten getrocknet, um Kontaminationen durch Fusseln oder Partikel zu vermeiden.

Deckgläser: Für die Probenmontage wurden Livingstone Borosilikatglas-Deckgläser der Größe 22 × 40 mm verwendet.

Probenentnahme und Probenvorbereitung

Blutproben: Die Entnahme von Kapillarblut erfolgte mittels steriler Einweg-Blut Lanzetten unter Anwendung einer aseptischen Technik. Ein kleiner Tropfen wurde ohne Zusatz von Antikoagulanzen oder Fixiermitteln auf den Objektträger gegeben, mit einem Deckglas bedeckt und umgehend mittels Dunkelfeld- und Hellfeldmikroskopie analysiert.

Kontrollen & Kontaminationsbetrachtungen

Im Rahmen dieser Studie wurden keine zusätzlichen Kontrollproben (z. B. Kochsalzlösung, destilliertes Wasser) eingesetzt. Allerdings wurden in vorangegangenen Untersuchungen zu Pfizer-Formulierungen Kontaminationskontrollen durchgeführt, wie in [Referenz zu Pfizer-Publikation] dokumentiert. Diese früheren Kontrollen belegten, dass die beobachteten Strukturen keine Artefakte darstellten, die durch Mikroskopietechniken oder die Probenvorbereitung bedingt waren. Obwohl diese Studie sich auf die direkte Analyse biologischer Flüssigkeiten konzentriert, sollten zukünftige Forschungsarbeiten die Kontrolluntersuchungen ausweiten, um potenzielle Kontaminationen durch Umweltfaktoren oder Verfahrensabläufe umfassender zu bewerten.

Ergebnisse

In Blut- und Urinproben gehörten Vesikel-Formationen zu den frühesten und konsistentesten Beobachtungen. Diese Strukturen variierten in Größe, Klarheit und interner Komplexität, wiesen jedoch eine gemeinsame Reihe von Merkmalen auf: scharfe optische Begrenzungen, interne Strukturierung und eine stabile Verbindung mit umgebenden Materialien. Viele schienen an Übergangs- oder Interaktionsprozessen beteiligt zu sein – als Zentren für Kristallkeimbildung, Faserwachstum oder Partikelverkapselung. Die folgenden Abbildungen illustrieren wichtige Vesikelmorphologien, die in Humanproben beobachtet wurden, gefolgt von einer vergleichbaren Formation in Katzenblut.

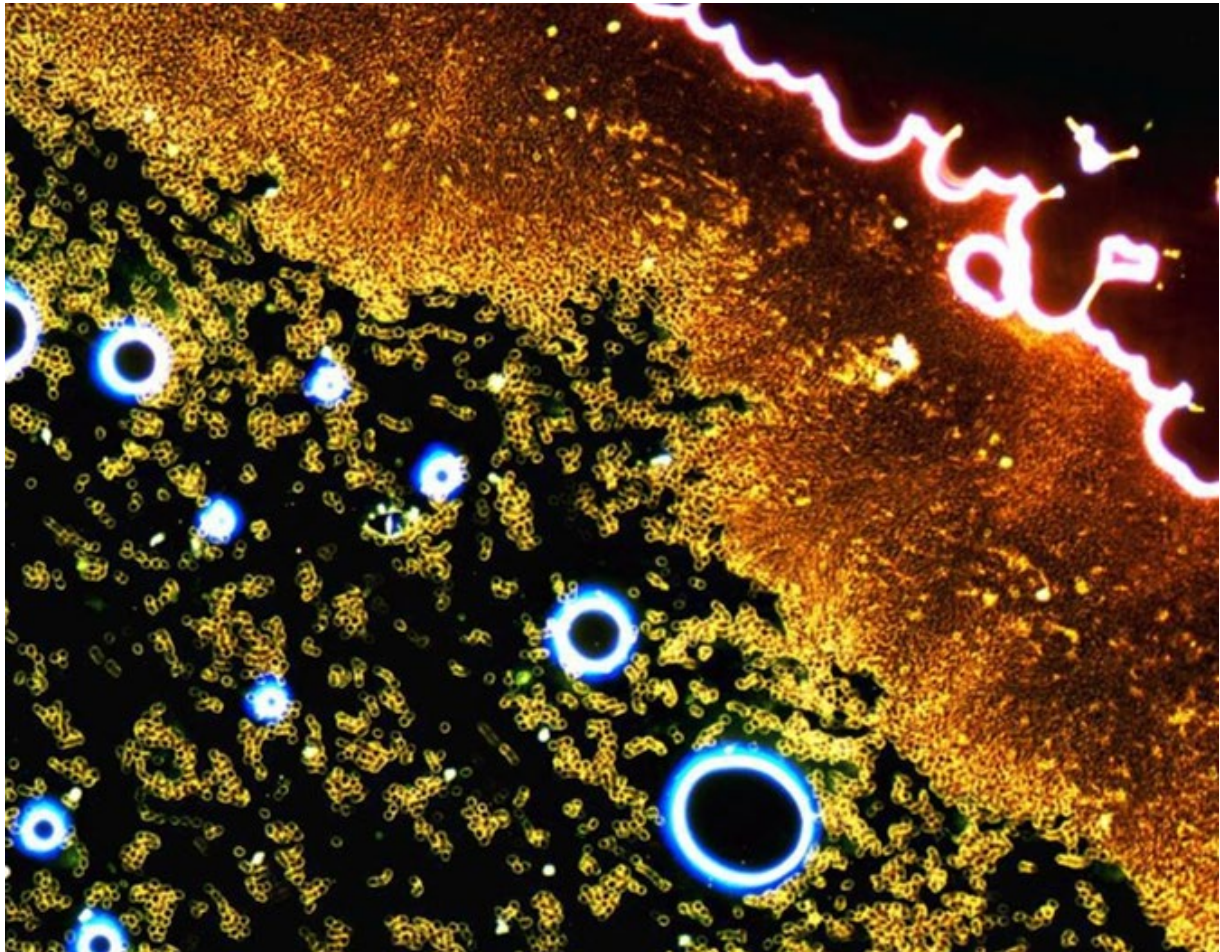


Abbildung 1 Vesikelfeld angrenzend an eine dynamische Phasengrenze in humanem Blut. Dutzende optisch aktiver Vesikel gruppieren sich unterhalb einer scharf definierten, kristallinen oder phasengetretenen Kante. Die Vesikel zeigen eine einheitliche Rundung, interne Klarheit und einen konsistenten Kantenkontrast, was auf eine templatgesteuerte Bildung und Koordination auf Populationsebene hindeutet. Vergrößerung 400x

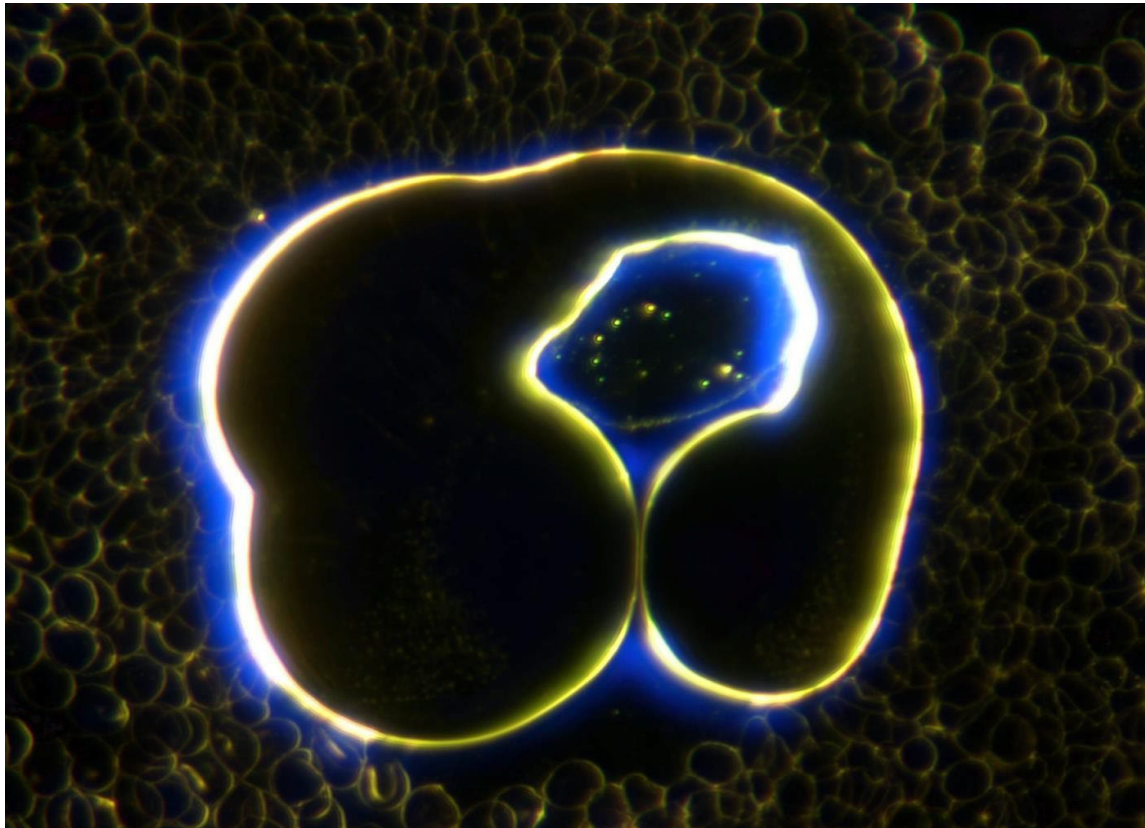


Abbildung 2 Ein Mehrkammer-Vesikel in humanem Blut, der eine scharfe Begrenzung und eine verschachtelte interne Morphologie aufweist. Die äußere Membran des Vesikels weist zwei große Lappen auf, die einen zentral begrenzten, optisch aktiven Einschluss umschließen, was auf eine frühe strukturelle Kodierung und räumliche Differenzierung schließen lässt. Vergrößerung 400x.

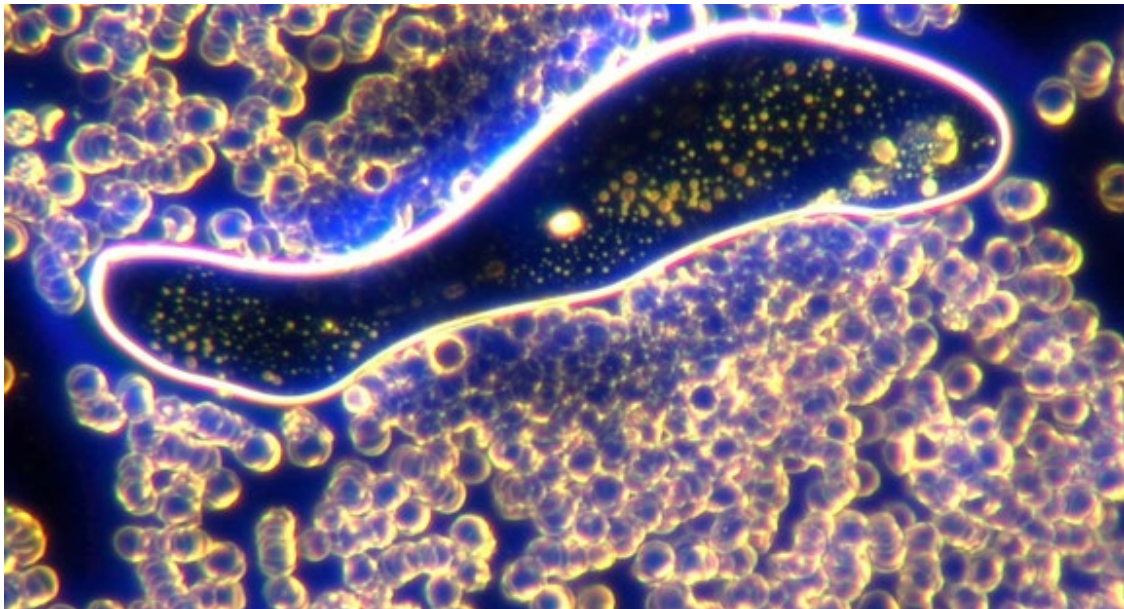


Abbildung 3 Unregelmäßig geformter Vesikel mit dicht gepackten, partikulären Einschlüssen. Die Vesikelbegrenzung bleibt scharf definiert und umschließt interne Granula, die einen konsistenten Abstand und optische Reaktivität zeigen. Diese Merkmale legen aktive Einkapselungs- oder Sortierfunktionen innerhalb eines dynamischen Selbstassemblierungsprozesses nahe. Vergrößerung 400x.

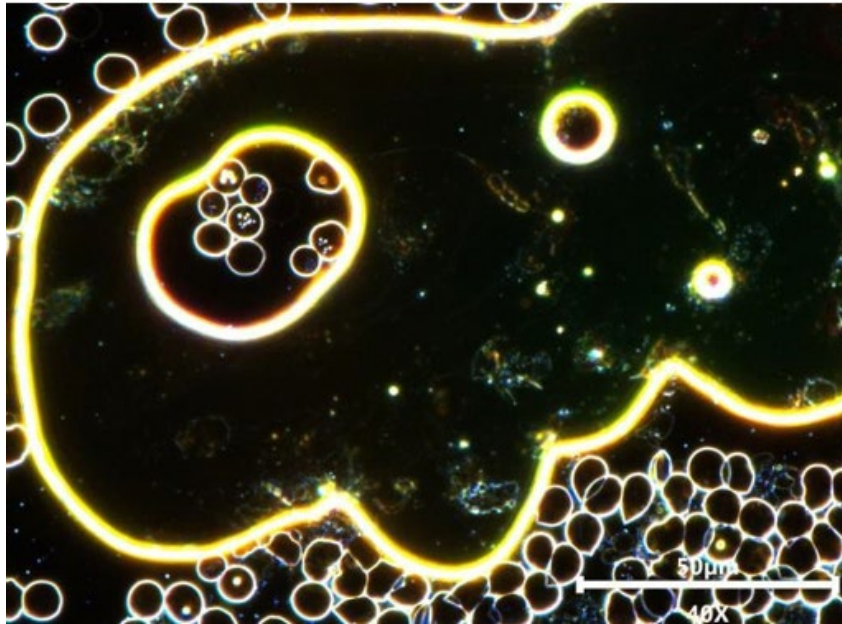


Abbildung 4 Hierarchisch organisierter Vesikel, der mehrere kleinere Vesikel und Mikrobläschen enthält. Die äußere Membran zeigt eine scharfe Begrenzung und Krümmungsmodulation und umschließt eine gut strukturierte Population interner Kompartimente. Der Maßstabsbalken bestätigt den subzellulären Größenbereich und unterstreicht die Präzision und Intentionalität dieser Formation. Vergrößerung 400x. Aufnahme von Karl C.

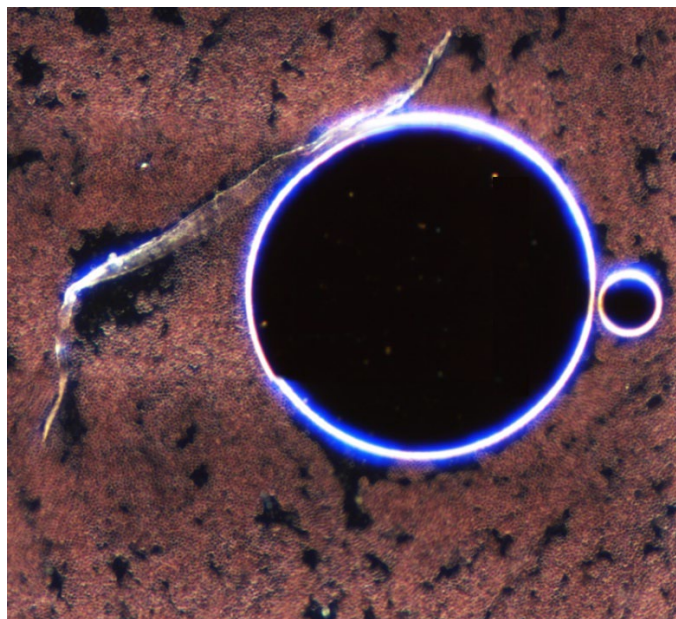


Abbildung 55 Eine Faser schneidet einen großen Vesikel im Blut einer Katze (Katze: „Toby“), wobei strukturelle Parallelen zu Beobachtungen in humanen Proben bestehen. Beachten Sie die konsistente Kantendefinition, die geschichtete Transparenz und die Ausrichtungsdynamik innerhalb der Faser. Das kleinere Vesikel an der Basis der Primärstruktur verstärkt die wiederkehrende Vesikel-Faser-Assoziation. Vergrößerung: 400x.

Das Auftreten ähnlicher Vesikelstrukturen in Katzenblut erhärtet die Annahme, dass diese Formationen nicht auf menschliche biologische Systeme beschränkt sind. Abbildung 6 zeigt eine ungewöhnliche Population gleichförmiger Vesikel, die Erythrozyten ähneln und diese Beobachtung weiter untermauern. Trotz oberflächlicher Ähnlichkeit mangelt es diesen Strukturen an definierenden Merkmalen roter Blutkörperchen – insbesondere an zentraler Blässe und zytoplasmatischer Granularität –, was die Möglichkeit eines synthetischen Analogons aufwirft. Ihre Dichte, Oberflächendefinition und konsistente Zusammensetzung deuten eher auf eine distinkte Vesikelpopulation als auf genuine hämatologische Elemente hin.

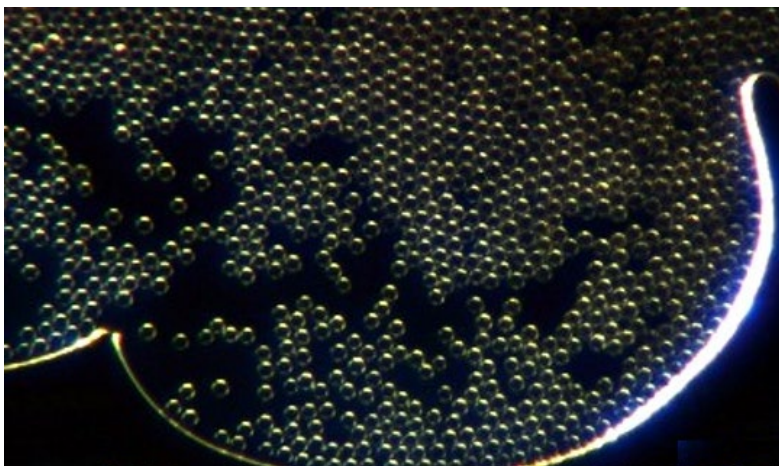


Abbildung 6. Dichte Vesikelanordnung, die die Morphologie von Erythrozyten imitiert, jedoch zentrale Blässe und zytoplasmatische Details vermissen lässt. Diese gleichförmig großen, optisch dichten Vesikel ähneln in ihrer Verteilung stark roten Blutkörperchen, unterscheiden sich jedoch durch ihre reflektierenden Hüllen und nicht-biologischen Oberflächeneigenschaften. Ihr synthetisches Erscheinungsbild, ihre Größe und die populationsweite Einheitlichkeit legen eine gezielte Bildung von Vesikeln nahe. Vergrößerung 400x.

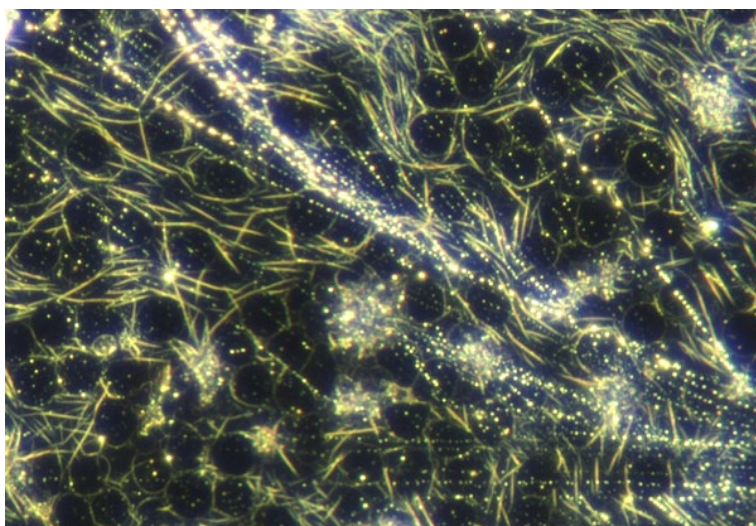


Abbildung 7. Dichte, synthetische Matrix, die Fibrin in menschlichem Blut ähnelt und ausgerichtete kolloidale Filamente, partikuläre Stränge sowie dunkle, vesikelartige Formen aufweist. Das Sichtfeld ist mit nanostrukturiertem Material gesättigt, das geordnete, verwobene Bündel bildet, welche auf ein templatgesteuertes Wachstum oder eine gesteuerte Assemblierung hindeuten. Zahlreiche kleine Vesikel oder Erythrozyten-Mimesen – ohne interne Granularität oder Blässe – erscheinen inert oder von künstlicher Natur. Die Gesamtpräsentation imitiert die Fibrin-Gerinnung, weicht jedoch in Geometrie, Reflektivität und Homogenität ab, was Fragen bezüglich des biomimetischen Designs und der pathologischen Rolle dieser Materialien aufwirft. Vergrößerung 400x.

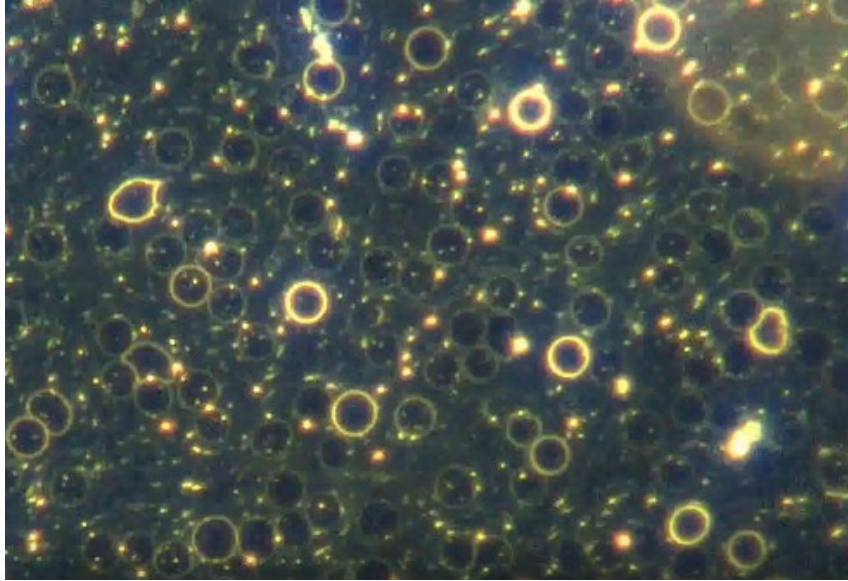


Abbildung 8. Stark veränderte Blutprobe mit ausgeprägter kolloidaler Infiltration und Membran-Anomalien. Es liegen multiple Populationen vesikelartiger Strukturen vor, von denen viele konzentrische oder mehrschichtige Membranen mit unterschiedlicher optischer Dichte zeigen. Das umgebende Feld ist mit reflektierenden Nanopartikeln und Kolloiden gesättigt, die eine granulare Matrix bilden, welche scheinbar mit den Vesikeloberflächen interagiert oder an diesen haftet. Das Fehlen einer typischen Erythrozytenmorphologie und die Überrepräsentation uniformen, optisch versiegelter Vesikel legen einen synthetischen oder stark modifizierten Zustand nahe, der mit einer weitverbreiteten Störung oder dem Ersatz normaler hämatologischer Elemente einhergeht. Vergrößerung 400x.

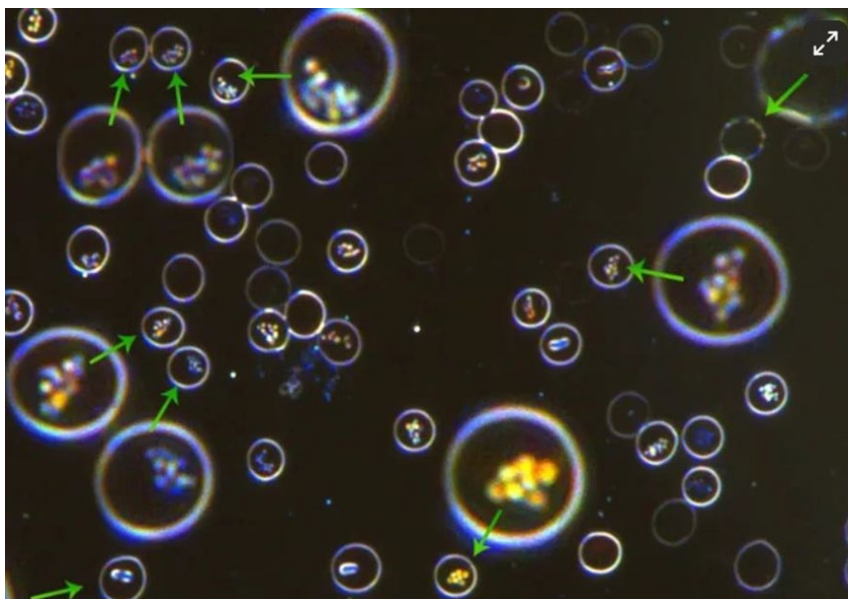


Abbildung 9. Kompositbild, das eine interne Strukturierung innerhalb kleiner Vesikel zeigt. Die größeren Vesikel im Feld sind digital vergrößerte Kopien der kleineren Formen, die hier mit grünen Pfeilen gekennzeichnet sind. Jedes Vesikel demonstriert eine interne partikuläre Komplexität, was bestätigt, dass selbst Submikron-Vesikel eine nicht-zufällige Organisation und potenzielle Funktionalität aufweisen. Vergrößerung 400x (Originalmaßstab), Kompositvergrößerung. Aufnahme und Hervorhebung durch Karl C.

Die in diesen Proben dokumentierten Vesikelformationen weisen konsistente Merkmale auf, die sich einer konventionellen biologischen Interpretation entziehen. Ihre scharfen Begrenzungen, interne Strukturierung und populationsweite Uniformität deuten auf eine zugrunde liegende Assemblierungslogik hin, die durch standardmäßige hämatologische oder biochemische Prozesse nicht hinreichend erklärt wird. Diese Vesikel, die sowohl in menschlichem als auch tierischem Blut beobachtet wurden und Größenskalen von großen Kompartimenten bis hin zu Sphären im Mikrometerbereich umfassen, zeigen ein reproduzierbares Verhalten, das auf einen synthetischen oder technischen Ursprung hindeutet. Ihre häufige Assoziation mit anderen Strukturmotiven – insbesondere Fasern und kristallinen Elementen – lässt vermuten, dass Vesikel innerhalb eines umfassenderen Selbstassemblierungssystems als Vorläufer, Transportintermediate oder strukturelle Initiatoren fungieren könnten. Diese Hypothese wird durch die im folgenden Abschnitt dokumentierten Übergangsformen untermauert.

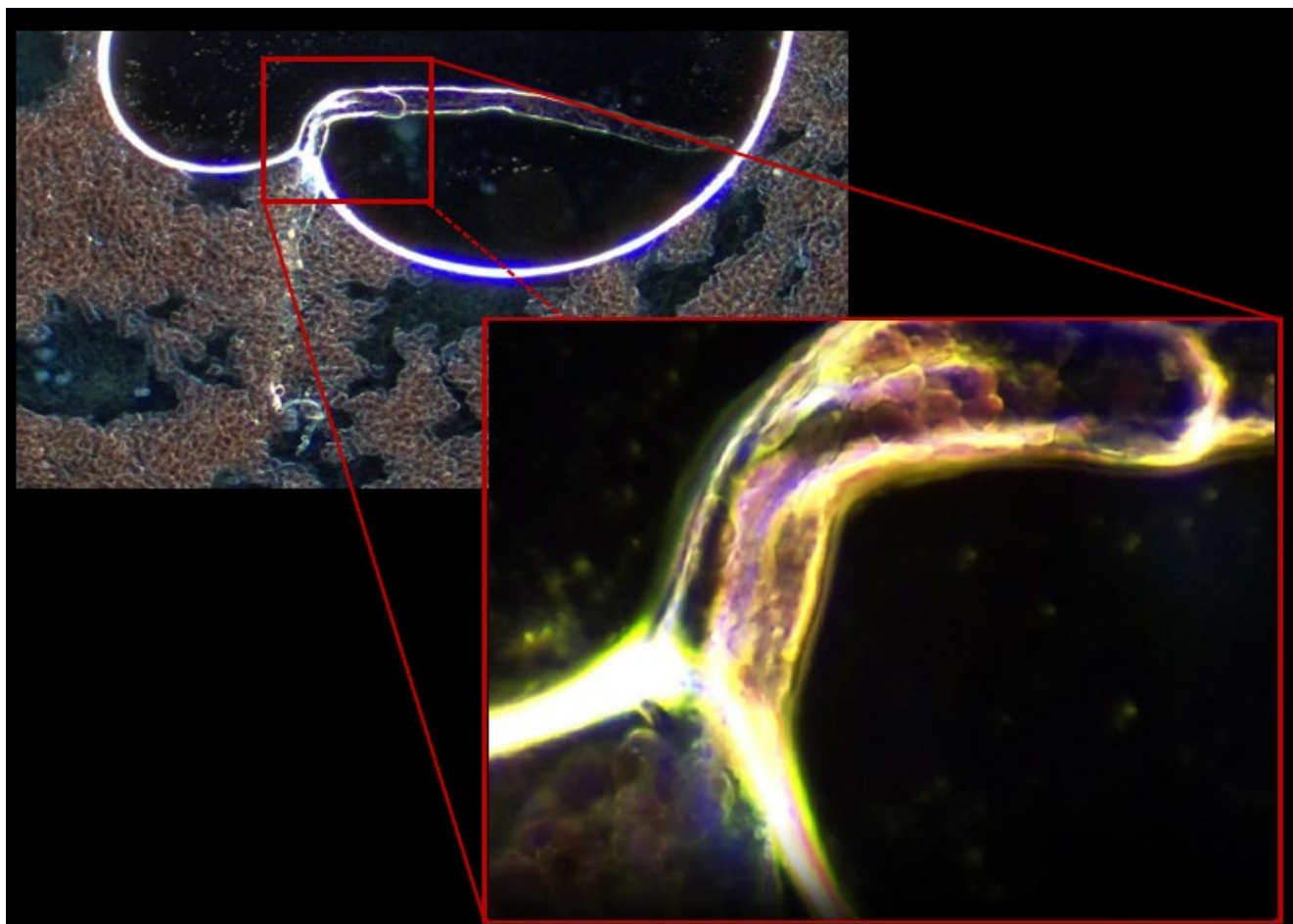


Abbildung 10. Zusammengesetztes Bild, das die Extrusion einer Faser aus der Begrenzung eines Vesikels in menschlichem Blut zeigt (Bild mit freundlicher Genehmigung von Steve Clough). Das Hauptbild (100x) zeigt ein bilobales Vesikel, aus dessen interlobärer Verbindung eine Faser austritt. Der Ausschnitt (400x) offenbart detaillierte, laminierte und doppelbrechende Merkmale innerhalb der Faser, was auf eine strukturierte Elongation und Membranverankerung schließen lässt. Diese Konfiguration stützt die Hypothese, dass Vesikel als Ausgangspunkte in einer programmierten Assemblierungssequenz dienen.

Der Übergang von Vesikel zu Faser ist nicht nur unter Dunkelfeld-Bedingungen, sondern auch in hydratisierter Umgebung zu beobachten, wo Hydrogel-Matrizen ein Medium für ein ausgedehntes morphogenes Verhalten darstellen. Abbildung 9, aufgenommen mittels Hellfeldmikroskopie, zeigt einen ähnlichen vesikulären Ursprung mit Übergang in eine faserartige Ausdehnung. Form und Inhalt der Struktur legen nahe, dass sowohl Blutkomponenten als auch die Dynamik von Hydrogelen die Faserbildung beeinflussen, was auf eine umfassendere Umweltsensitivität des Selbstassemblierungsprozesses hindeutet.

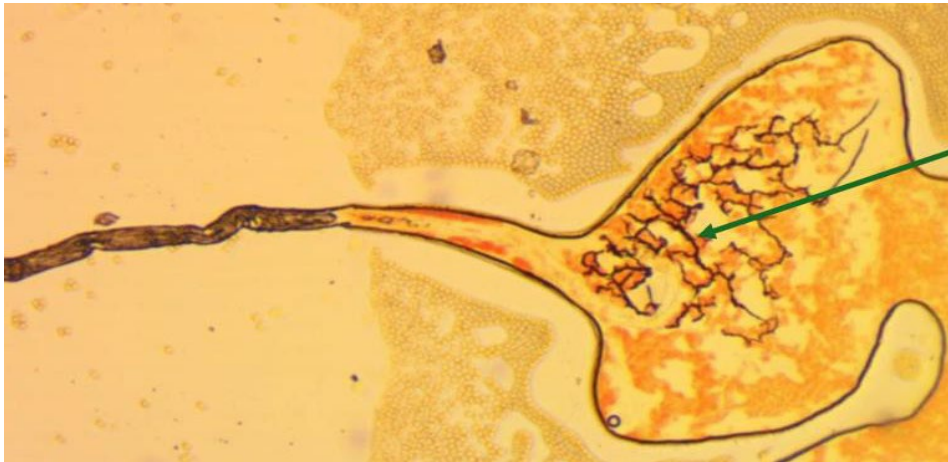


Abbildung 11. Hellfeldmikroskopie-Aufnahme bei 40-facher Vergrößerung, die eine in ein Hydrogel eingebettete Blutstruktur zeigt, die in eine faserartige Formation übergeht. Die innere Zone enthält rote Blutkörperchen, die in einem fraktalen Trocknungsmuster angeordnet sind, was auf eine Interaktion zwischen der Hydrogelmatrix und dem Blut während der Dehydratation schließen lässt. Die Struktur zeigt einen vesikelartigen Ursprung, der sich zu einer Faser verzweigt, was mit programmierter Morphogenese und umweltmodulierter Selbstassemblierung konsistent ist. (Abbildung mit freundlicher Genehmigung von Delina B.)

Mit fortschreitender Entwicklung der Fasern über die reine Verlängerung hinaus entstehen neue Strukturformen. Die folgende Sequenz illustriert einen schrittweisen Übergang von isolierten, vesikelassoziierten Fasern zu vollständig integrierten, blattartigen Strukturen. Diese Aufnahmen zeigen einen kritischen Punkt im Assemblierungsprozess, an dem lineare Ausdehnungen beginnen, sich zu vereinen, zu verbreitern und abzuflachen, was darauf hindeutet, dass das Materialverhalten nicht statisch ist, sondern auf energetische oder räumliche Bedingungen reagiert. Dieser Übergang von Fasern zu flächigen Strukturen wirft die wichtige Frage auf, ob diese Strukturen modulare Aufbauschritte oder Phasen innerhalb einer kontinuierlichen synthetischen Morphogenese darstellen.

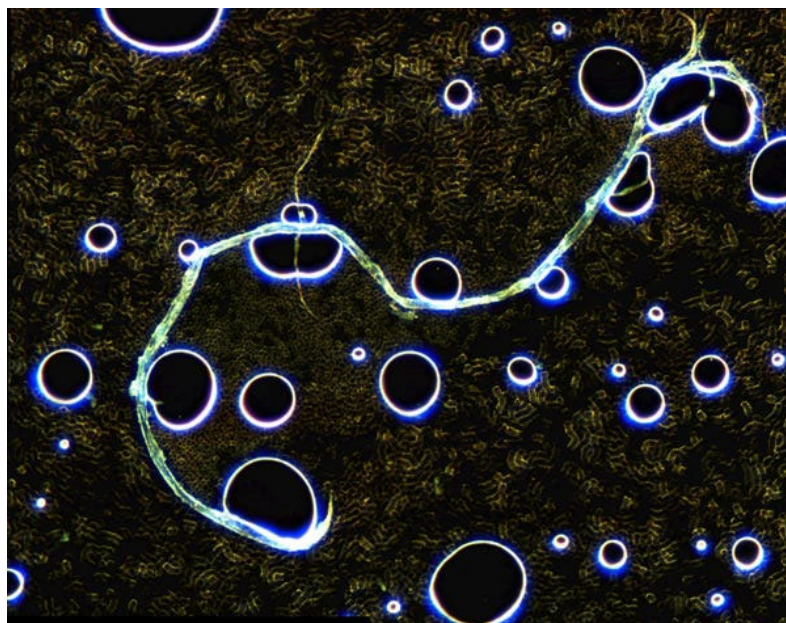


Abbildung 12. Innerhalb eines dispergierten vesikulären Feldes entsteht ein Netzwerk elongierender Fasern, was eine interaktive Beziehung zwischen Vesikeln und Faserwachstum impliziert. Die lumineszenten Ränder und die strukturierte Formation deuten auf einen hochorganisierten Selbstassemblierungsprozess hin. Vergrößerung: 400x.

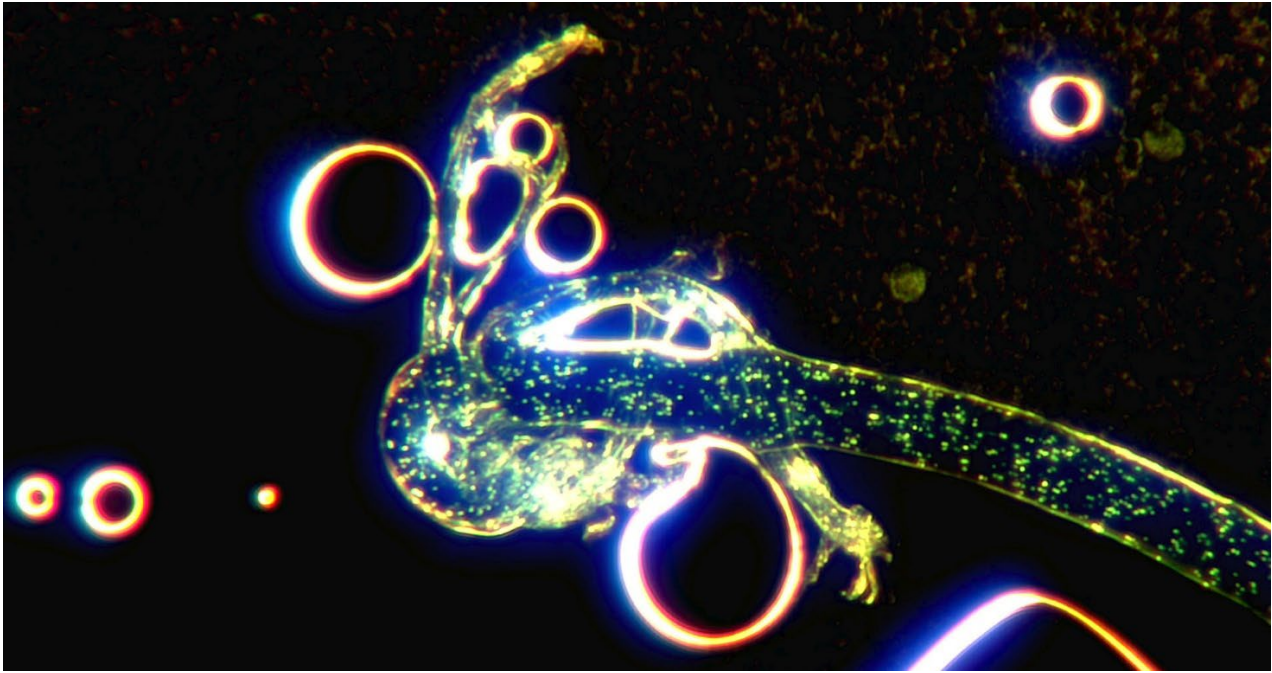


Abbildung 13. Diese dicht gepackte Faserstruktur weist interne partikuläre Einschlüsse auf, was auf einen fortschreitenden Materialablagerungsprozess vor der Expansion zu Flächen hindeutet. Die strukturierten Begrenzungen und eingebetteten Granulate werfen Fragen nach externen Einflüssen auf, die den Übergang antreiben, und lassen auf einen energieabhängigen oder schablonengeleiteten Assemblierungsmechanismus schließen. Vergrößerung 400x

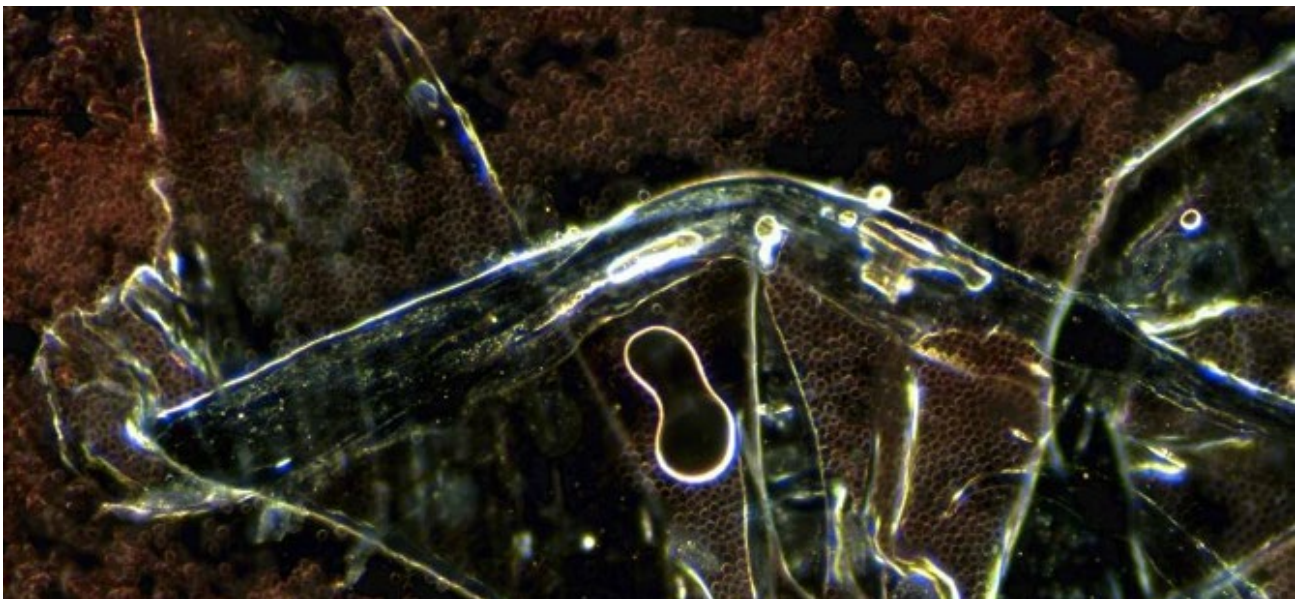


Abbildung 14. Ein Netzwerk von Fasern integriert sich in ausgedehnte blattähnliche Strukturen, was eher auf ein Kontinuum im Selbstassemblierungsprozess als auf diskrete Phasen hindeutet. Die reflektierenden, geschichteten Oberflächen und lumineszenten Ränder lassen auf eine gesteuerte oder schablonenhafte Transformation schließen und werfen Fragen nach den zugrunde liegenden Mechanismen auf, die diese Veränderung antreiben. Vergrößerung 400x.

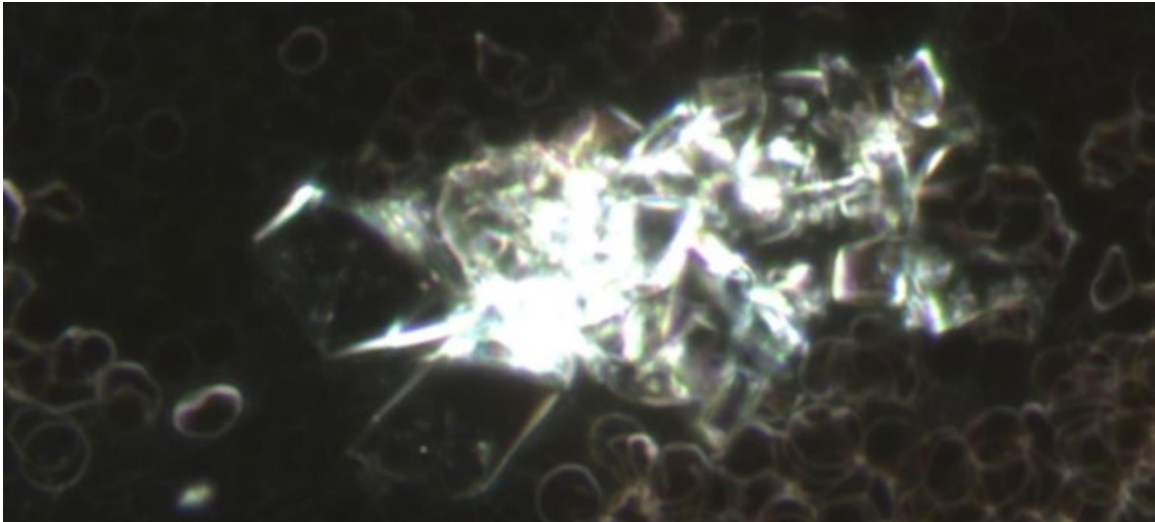


Abbildung 1 . Aggregierte kristalline Strukturen im Blut, bestehend aus winkligen, reflektierenden Plättchen mit konsistenter Ausrichtung. Dichte, interne Schichtung und optische Kohärenz weisen auf einen nicht-zufälligen Assemblierungsprozess hin, der auf eine gezielte Morphogenese schließen lässt. Vergrößerung 400x.

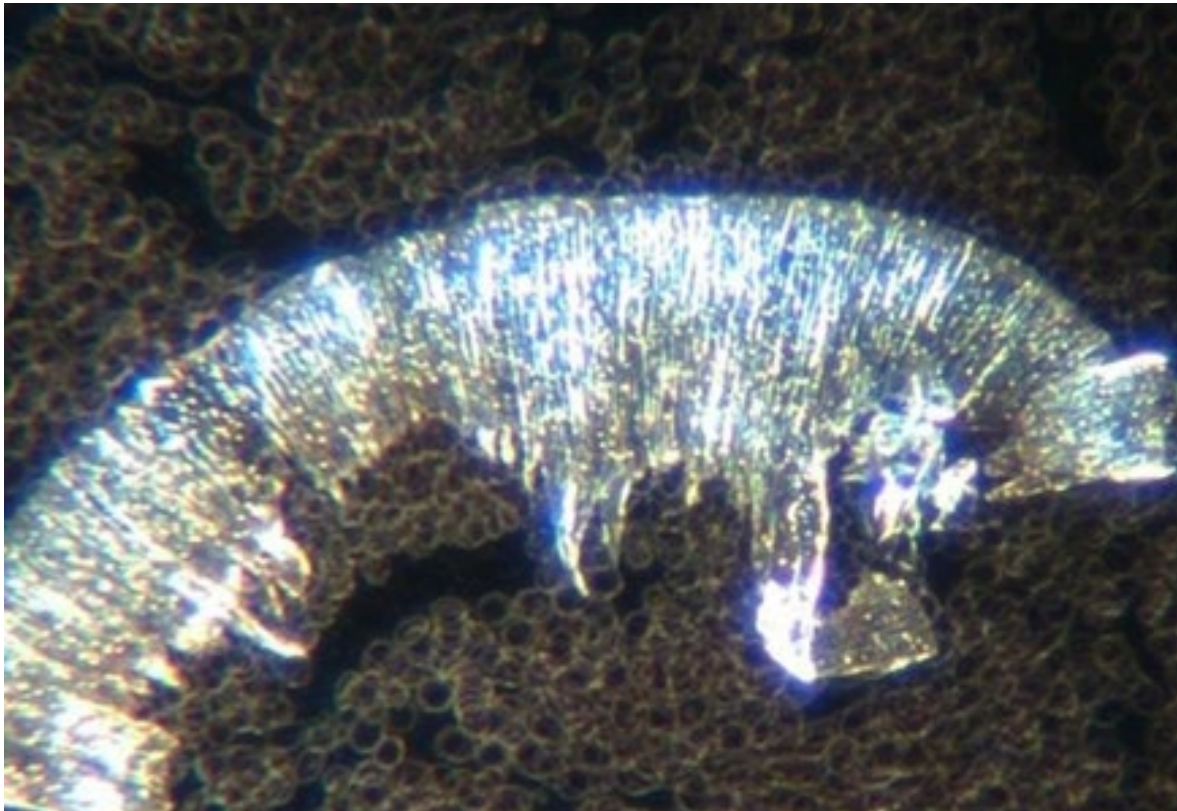


Abbildung 16. Bogenförmige kristalline Struktur, eingebettet in eine dichte Blutzellmatrix. Die reflektierende Hülle, die interne Schichtung und die ungewöhnliche Krümmung unterscheiden diese Formation von natürlich vorkommenden Kristallen und legen einen gesteuerten oder synthetischen Ursprung nahe. Vergrößerung 400x.

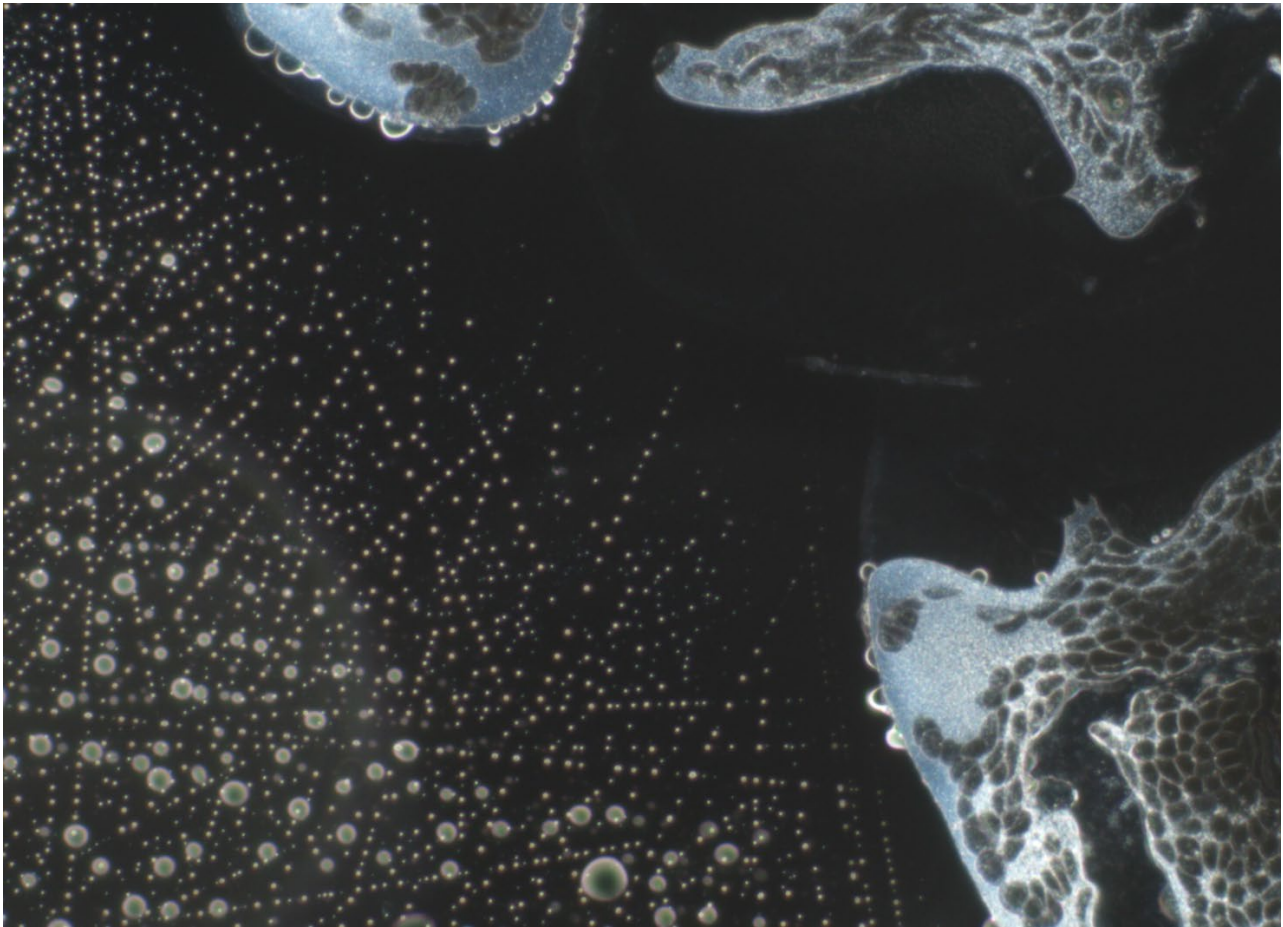


Abbildung 17. Blutprobe eines Patienten, der über extreme EMF-Sensitivität klagt. Das Präparat zeigt weitverbreitete Anomalien: veränderte rote Blutzellen, nanoskalige blaue Partikel und koordinierte Reihen kolloidaler Partikel, von denen viele zu vesikelartigen Formen angeschwollen sind. Die scharfen Abgrenzungen der Kompartimente und die sich wiederholenden räumlichen Muster lassen auf eine externe Modulation oder resonante Feldwechselwirkungen schließen. Vergrößerung 400x. Aufnahme von Louise Coates, basierend auf einem Präparat von C.M..

Diese abschließenden Abbildungen demonstrieren die Persistenz strukturierter Anordnungen im Blut – von kristallinen Formen bis hin zu partikulären Netzwerken – und belegen deren Assoziation mit symptomatischen Patienten. Zusammenfassend unterstreichen diese Ergebnisse die systemische Natur dieser Phänomene sowie die dringende Notwendigkeit, mögliche Zusammenhänge zwischen strukturellen Anomalien, elektromagnetischer Sensibilität und Bio-Nano-Interferenzen zu untersuchen. Eine umfassendere Untersuchung dieses Spektrums ist für die nächste Phase dieser Forschung vorgesehen.

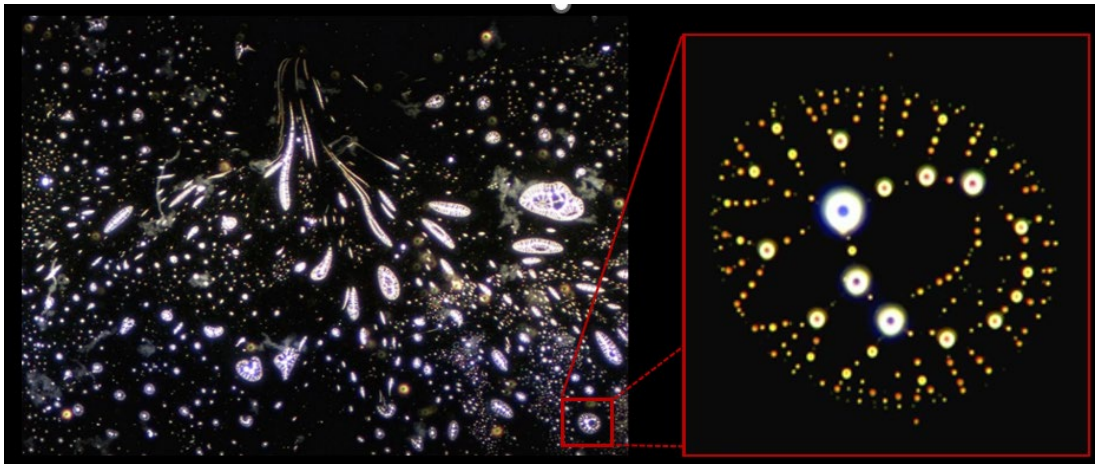


Abbildung 18. Kolloidale Anordnung in menschlichem Urin, die eine Musterbildung und radiale Strukturierung aufweist. Das Hauptbild zeigt ein dichtes kolloidales Feld mit Bereichen hoher struktureller Wiederholung. Der Einschub hebt ein kreisförmiges Motiv hervor, das aus konzentrischen Vesikeln und Mikropartikeln besteht und eine räumliche Symmetrie aufweist, welche auf eine templatgesteuerte Organisation schließen lässt. Diese Befunde legen nahe, dass kolloidphasige Komponenten nicht nur im Urin vorhanden sind, sondern während der Ausscheidung möglicherweise ihre architektonische Kohärenz bewahren. Vergrößerung 400x (Hauptbild); Einschub digital vergrößert.

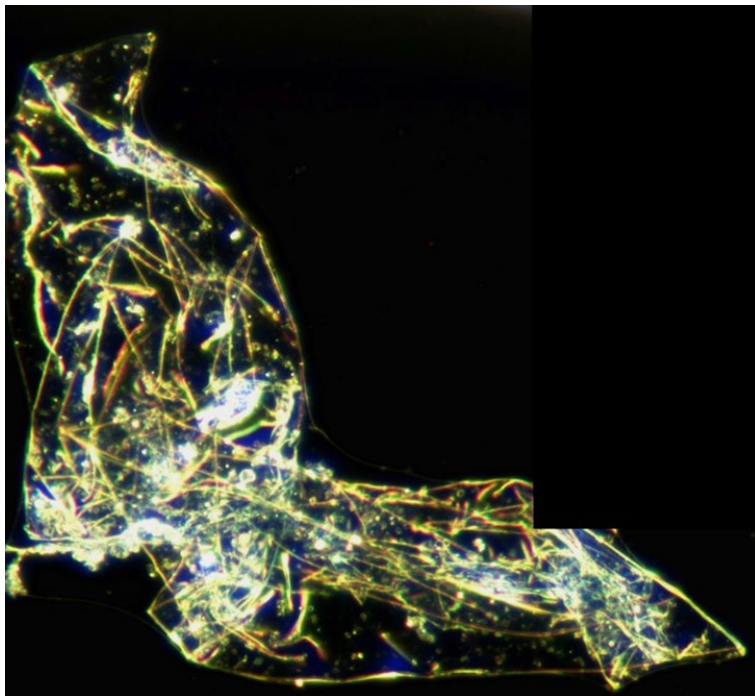


Abbildung 19. Hochstrukturierte, kristalline Schicht im Urin, bestehend aus sich kreuzenden Fasern und reflektierenden, winkligen Facetten. Das Innere zeigt leuchtende Fäden, eingebettet in eine transparente Membran, was auf eine Hydrogel-verknüpfte Organisation hindeutet. Vergrößerung: 400x.

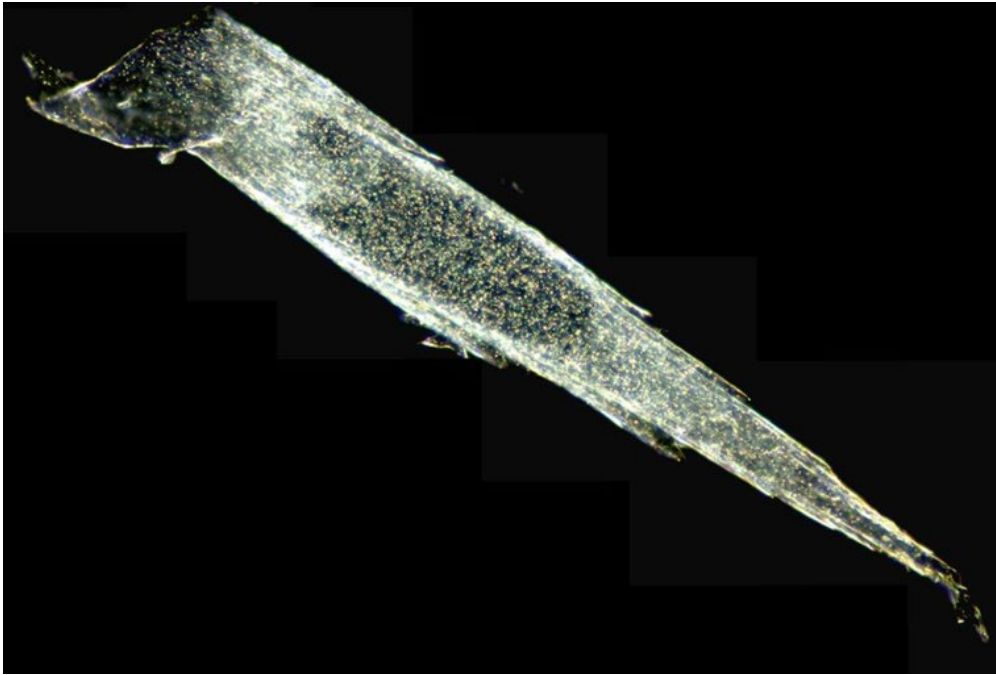


Abbildung 20. Sich verjüngende Blattstruktur mit granulärem Kern, beobachtet im Urin mittels Dunkelfeldmikroskopie. Das gleichmäßige Kantenprofil und die Partikelverteilung legen einen templatgesteuerten Freisetzungsmechanismus anstelle einer zufälligen Aggregation nahe. Vergrößerung: 400x.

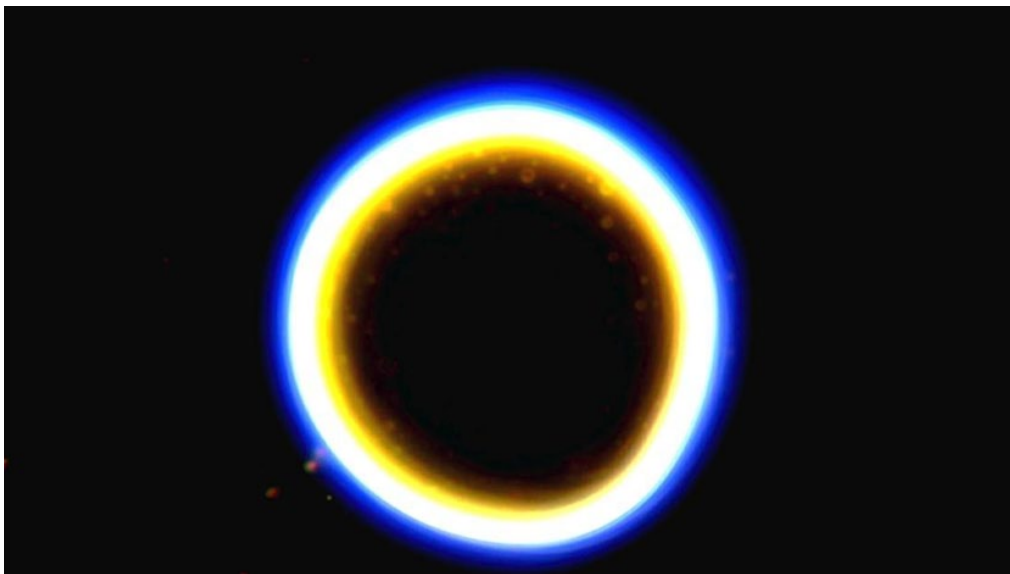


Abbildung 21. Großes Vesikel, intakt im Urin ausgeschieden, das dasselbe Randverhalten und dieselbe chromatische Beugung wie in Blutproben zeigt. Die innere Matrix ist schwach, weist aber eine konsistente Dichte und Kantenkohärenz auf. Vergrößerung: 400x.

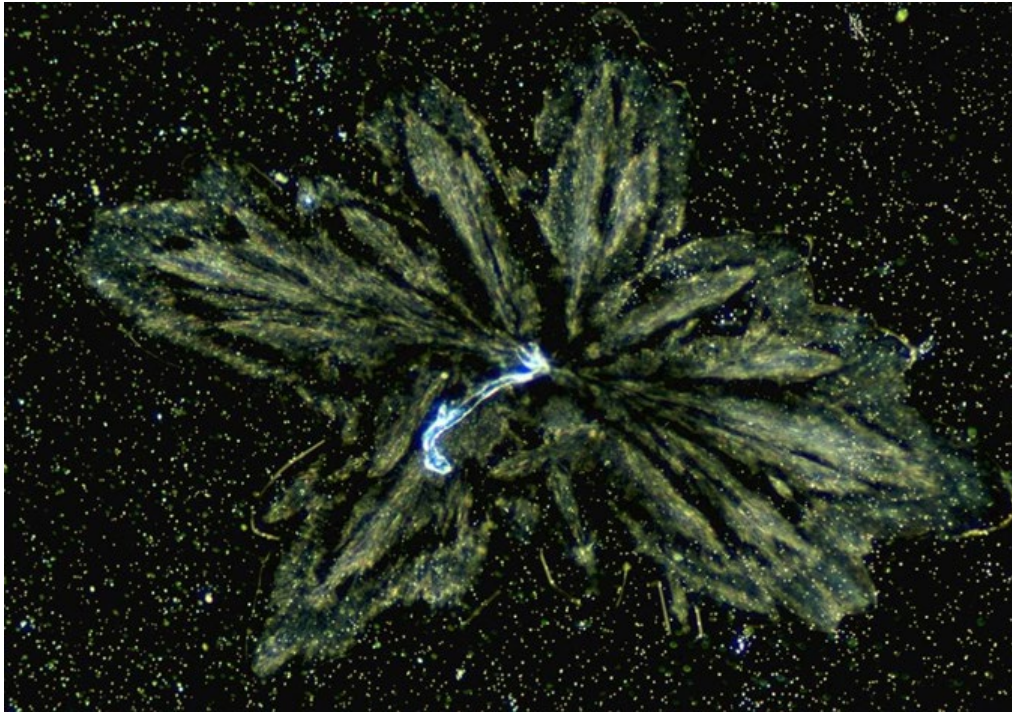


Abbildung 22. Sechslappige Kristallstruktur mit zentraler filamentöser Projektion, umgeben von einer kolloidalen Matrix. Diese blütenartige Geometrie, die während der Ausscheidung erhalten bleibt, deutet darauf hin, dass synthetische, kristalline Motive in verschiedenen biologischen Kompartimenten stabil bleiben. Vergrößerung: 400x.

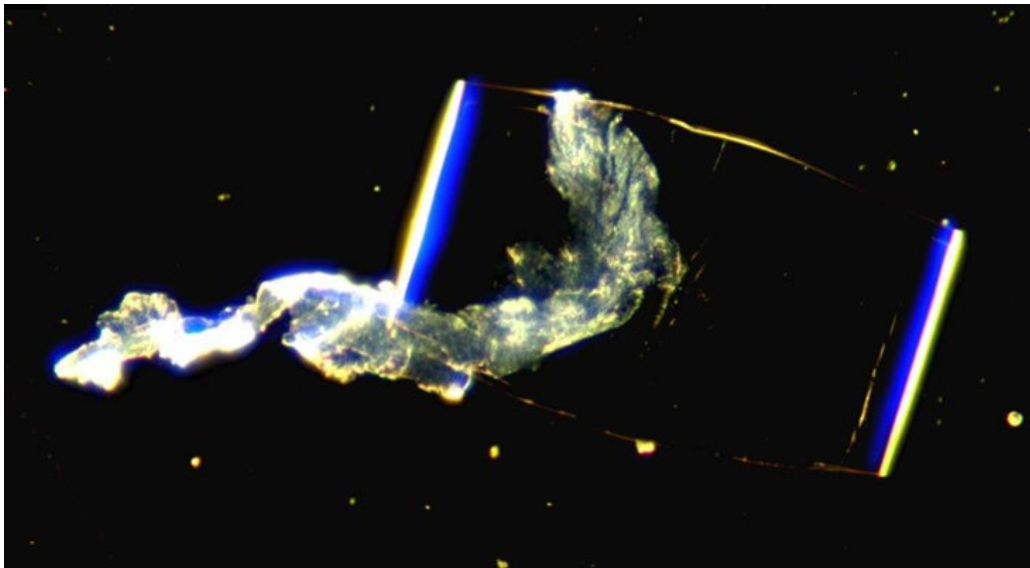


Abbildung 23. Komplexe Struktur, die eine transparente kristalline Schicht mit einem ausgeschiedenen Faserbündel im Urin verbindet. Die zentrale Struktur durchläuft die Randbegrenzung, was auf eine Kontinuität zwischen systemischer Materialassemblierung und Eliminationswegen schließen lässt. Vergrößerung 400x.

Diskussion

Die in dieser Studie präsentierten Ergebnisse zeigen ein konsistentes Muster struktureller Komplexität in menschlichen biologischen Flüssigkeiten – insbesondere in Blut und Urin. Dieses Muster ist durch das Vorhandensein von Vesikeln, Kristallen, Kolloiden und hybriden Kompositstrukturen gekennzeichnet. Diese Strukturen weisen geometrische Regelmäßigkeit, interne Organisation und zeitliche Persistenz auf, was darauf hindeutet, dass ihre Bildung nicht auf zufällige Aggregation oder unbeabsichtigte Kontamination zurückzuführen ist. Die Evidenzlage stützt vielmehr die Hypothese, dass diese Materialien an dynamischen Selbstassemblierungsprozessen teilnehmen, die einer zugrunde liegenden strukturellen Logik folgen.

Ein wiederkehrendes Thema ist das Auftreten eines mutmaßlichen triphasischen Strukturmotivs, das Vesikel, kristalline Formationen und kolloidale Phasen umfasst. Dieses Motiv wurde bereits in Studien zu pharmazeutischen Rückständen beobachtet, insbesondere in Impfstoffen und Anästhetika. Nunmehr ist es reproduzierbar in biologischen Proben nachweisbar. Die Kontinuität zwischen Materialien, die in injizierbaren Produkten beobachtet und später in Blut und Urin gefunden werden, stützt die Hypothese, dass diese Strukturen entweder direkt eingebracht oder durch materielle Reize nach Exposition induziert werden.

Der beobachtete Übergang von amorphem, Hydrogel-ähnlichem Material zu Fasern und, in einigen Fällen, blattähnlichen Strukturen deutet auf einen nicht-zufälligen, progressiven Selbstassemblierungsmechanismus hin. Die deutliche Schichtung, interne Streifung und gegabelte Morphologie dieser Fasern lassen auf eine Beteiligung einer Templat-Morphogenese schließen, bei der Material durch sequenzielle Ablagerung oder Phasenübergänge organisiert wird. Diese Verhaltensweisen lassen sich nicht ohne Weiteres durch standardmäßige biologische Prozesse wie Gerinnung, Fibrinbildung oder die Aggregation zellulärer Bestandteile erklären. Sie deuten vielmehr auf das Vorhandensein von vorcodierten Assemblierungsanweisungen oder externen Einflüssen hin, die die Materialorganisation lenken.

Einige der dokumentierten Strukturen – insbesondere jene mit verschachtelten Kompartimenten, Doppelbrechung oder photonischen Reaktionen – weisen Merkmale auf, die mit hierarchischer Selbstassemblierung übereinstimmen, einem Charakteristikum von technischen oder biomimetischen Systemen (vgl. Schwille, 2011). Insbesondere das Vorhandensein interner toroidaler Geometrien und kompartmentierter Vesikeleinschlüsse könnte Designprinzipien widerspiegeln, die in synthetischen Geräten im Nanobereich oder computergestützten Assemblierungsprozessen Anwendung finden.

Obwohl der Hauptfokus dieser Studie auf der Mikroskopie-basierten Strukturanalyse liegt, ist es wichtig, ergänzende Erkenntnisse aus Untersuchungen von Proximity-Signalen anzuerkennen. Frühere Forschung, einschließlich Datensätze aus den Jahren 2021 bis 2025, hat persistente, nicht registrierte Bluetooth-Emissionen in der Umgebung von geimpften Personen aufgezeigt. Diese Emissionen weisen nicht-zufällige Eigenschaften auf, wie Entropie-Kompression, Intervall-Locking und eine konservierte Bitfeldstruktur. Obwohl die genannten Signalphänomene außerhalb des direkten Beobachtungsbereichs der Mikroskopie liegen, verstärkt das gemeinsame Auftreten dieser Emissionen und strukturierter Materialformationen die Hypothese einer bio-digitalen Schnittstelle, bei der eingebrachte Materialien Kommunikationsfunktionen besitzen oder ermöglichen könnten. Es besteht dringender weiterer Untersuchungsbedarf.

Gegen diese Ergebnisse werden häufig Einwände vorgebracht, die sich im Wesentlichen auf drei Annahmen stützen: erstens, dass die zur Herstellung solcher Strukturen erforderliche Technologie noch nicht existiert; zweitens, dass kein vertrauenswürdiger Akteur diese heimlich einsetzen würde; und drittens, dass ein solcher Einsatz bereits allgemein bekannt oder aufgedeckt wäre, sollte er tatsächlich stattfinden. Jeder dieser Einwände basiert weniger auf Fakten als auf einem tradierten Vertrauen in die Transparenz von Institutionen und in vorhersehbare technologische Entwicklungsverläufe. Gleichwohl haben mikroskopische Untersuchungen an Fischen und mindestens vier Säugetierarten – darunter Rinder, Hirsche, Eichhörnchen und Hauskatzen – dieselben vesikulären, kristallinen und kolloidalen Eigenschaften aufgezeigt. Unveröffentlichte Daten aus Analysen von Tierarzneimitteln legen nahe, dass ähnliche Materialeigenschaften in tierischen Impfstoffen und injizierbaren Medikamenten vorliegen. Diese speziessübergreifenden Beobachtungen legen die Möglichkeit eines weitverbreiteten Materialphänomens nahe, das über ein einzelnes Produkt, einen einzelnen Hersteller oder eine einzelne Spezies hinausgeht. Dieses Muster erfordert eingehendere Untersuchungen, um zu klären, ob eine gemeinsame Klasse von Exzipienten oder nicht deklarierte Zusatzstoffe diese Ergebnisse begünstigen könnten. Wie Akyildiz et al. im Jahr 2015 anmerkten: „Nanonetworks will enable the coordinated actions of nano-machines, offering

capabilities such as in-body health monitoring, drug delivery, and even bio-hybrid information processing“ – ein deutlicher Hinweis darauf, dass sowohl die konzeptionellen als auch die technologischen Grundlagen für solche Systeme seit Langem entwickelt werden.

Das funktionelle Potenzial dieser vesikulären Strukturen bleibt zwar unklar, doch ihre Diversität und Konsistenz über verschiedene Proben hinweg erfordern eine eingehendere Analyse. Bestimmte Vesikel scheinen sich im Laufe der Zeit zu vergrößern, wie in Abbildung 1 (oben rechts) zu sehen ist, was auf ein Hydrogel-ähnliches Verhalten hindeutet, möglicherweise durch Quellung als Reaktion auf Hydratation oder Umweltfaktoren. Andere, wie die in Abbildung 3 dargestellte irreguläre Struktur, weisen dicht gepackte interne Granula auf, was auf eine komplexere Lipid-Protein-Hybridzusammensetzung mit potenziellen Funktionen bei der Einkapselung oder Sortierung schließen lässt. Wieder andere, wie die Erythrozyten-ähnlichen Vesikel in Abbildung 6, präsentieren sich als synthetische Analoga: von einheitlicher Größe, optisch dicht und strukturell konsistent, jedoch ohne die zentrale Aufhellung und die zytoplasmatischen Merkmale echter Erythrozyten. Obwohl ihre genauen Funktionen noch unbestimmt sind, deutet diese Variation in Form und Inhalt auf eine Spezialisierung hin, potenziell für Transport, Signalübertragung oder strukturelle Initiierung. Die zugrunde liegende Organisationslogik erscheint eher intentional als zufällig, und die Erforschung der Funktionen dieser Vesikel sollte nun Priorität haben.

Diese interpretativen Kategorien werden durch den breiteren Feldkontext in Abbildung 8 untermauert. Eine stark veränderte Blutprobe enthält hier mehrere Klassen vesikelartiger Strukturen, darunter konzentrische, geschichtete und unterschiedlich dichte Membranformen. Viele sind ungewöhnlich einheitlich und scheinen optisch abgedichtet zu sein, während die umgebende Matrix mit feinen, reflektierenden Kolloiden und partikulären Granulaten angereichert ist. Das Fehlen typischer Erythrozytenmorphologien ist bemerkenswert – dies wirft die Frage auf, ob diese synthetischen Vesikel nicht nur mit roten Blutkörperchen koexistieren, sondern diese möglicherweise verdrängen oder vollständig ersetzen. Die auffallende Häufigkeit und Einheitlichkeit dieser Vesikel legen eine gezielte Replikation und Persistenz nahe, während der anomale granuläre Hintergrund darauf hindeutet, dass nanopartikuläres Material aktiv an der Strukturierung, Beschichtung oder als Matrice bei ihrer Bildung beteiligt sein könnte.

Über alle Proben typen hinweg entziehen sich die dokumentierten Strukturen konsistent einer Klassifizierung innerhalb der etablierten Paradigmen der Hämatologie, Immunologie und Pharmakologie. Ihre Persistenz, interne Komplexität und scheinbare Reagibilität auf Umweltreize deuten auf die Anwesenheit von Materialien hin, die möglicherweise nicht ausschließlich biologischen Ursprungs sind. Dies erfordert dringende weitere Untersuchungen. Die Hypothese, dass es sich um synthetische Biomaterialien mit selbstorganisierenden Eigenschaften handelt, wird sowohl durch morphologische Befunde als auch durch die Übereinstimmung mit in der Nanotechnologie-Literatur beschriebenen Verhaltensweisen gestützt, beispielsweise reaktiven Gelen, programmierbaren Gerüsten und modularen Montageeinheiten.

Aus regulatorischer und gesundheitspolitischer Perspektive ist es zunehmend schwer zu rechtfertigen, dass diese Phänomene nicht formell untersucht werden. Obwohl mehrere unabhängige Forscher mit vergleichbaren Techniken übereinstimmende Ergebnisse erzielen, hat bisher keine größere Institution bestätigende oder widerlegende Studien durchgeführt. Das Schweigen zu diesen Beobachtungen, insbesondere angesichts ihrer Reproduzierbarkeit und potenziellen Auswirkungen, könnte auf ein generelles Versagen der Risikobewertungsrahmen oder auf die mangelnde Bereitschaft hindeuten, etablierte Sicherheitsannahmen zu überdenken (siehe auch Hughes, 2024; Kyrie & Broudy, 2022). Der dringende Bedarf an einer transparenten, unabhängigen und multidisziplinären Untersuchung ist unverkennbar.

Die in dieser Studie dokumentierten strukturellen Verhaltensweisen werfen grundlegende Fragen hinsichtlich der derzeitigen Grenzen der pharmazeutischen Forschung, der biomedizinischen Ethik und des Bereichs der Biosecurity auf. Diese Strukturen könnten zumindest unbeabsichtigte Folgen neuartiger Hilfsstoffchemie oder Fertigungsprozesse sein. Sie könnten aber auch auf eine nicht deklarierte Materialplattform mit integrierten funktionellen Eigenschaften hindeuten, einschließlich Umweltsensitivität oder potentiell Interaktionsvermögen. Beide Interpretationen stellen etablierte regulatorische Modelle in Frage und unterstreichen die Notwendigkeit, die Bewertung, Überwachung und Klassifizierung von Medizinprodukten nach ihrer Anwendung neu zu bewerten.

Zusammenfassend lässt sich festhalten, dass die hier vorgestellten Strukturen – durch direkte Beobachtung in Blut und Urin dokumentiert – eine signifikante Abweichung von bekanntem biologischem Verhalten darstellen. Ob sie

passiv oder aktiv agieren, ihre Präsenz eröffnet eine neue Perspektive in den Diskussionen über Arzneimittelsicherheit, Bioakkumulation und systemische Exposition. Diese Befunde sind nicht spekulativ: Sie sind sichtbar, wiederkehrend und analytisch erfassbar. Es obliegt nun der wissenschaftlichen Gemeinschaft und den Aufsichtsbehörden, diese Phänomene mit der gebotenen Ernsthaftigkeit zu untersuchen.

Schlussfolgerung

Die Ergebnisse dieser Studie belegen die konsistente Präsenz struktureller Anomalien – insbesondere Vesikel, Kristalle, Kolloide und Hybridverbundstoffe – in menschlichem Blut und Urin. Diese Formationen zeigen organisierte Morphologien, persistentes Verhalten und gestaffelte Übergänge, einschließlich der Entwicklung von einem Hydrogel über eine Faser zu einer kristallinen Schicht. Ihr Auftreten spiegelt strukturelle Motive wider, die bereits in pharmazeutischen Produkten beobachtet wurden, was eine Kontinuität zwischen injizierbaren Materialien und internen Selbstassemblierungsprozessen nahelegt. Verschiedene Merkmale – einschließlich geometrischer Regelmäßigkeit, elektromagnetischer Empfindlichkeit und möglicher Nukleinsäureassoziation – deuten darauf hin, dass es sich nicht um zufällige biologische Artefakte handelt, sondern möglicherweise um synthetische Biomaterialien mit eingebetteter Organisationslogik. Das Auftreten ähnlicher Strukturen in verschiedenen Spezies, auch in Veterinärprodukten, legt die Möglichkeit eines systemischen und bislang unterschätzten Expositionsweges nahe. Wenngleich die genaue Zusammensetzung und Funktion dieser Materialien noch zu bestimmen sind, rechtfertigen ihre Reproduzierbarkeit, Komplexität und potenziellen funktionellen Eigenschaften eine dringende wissenschaftliche Untersuchung. Diese Strukturen stellen die gegenwärtigen regulatorischen Annahmen über die Inertheit und Biokompatibilität von Pharmazeutika infrage. Die hier vorgelegten Beweise regen nicht zu Spekulationen an – sie erfordern eine Verifizierung. Angesichts dieser Erkenntnisse ist eine multidisziplinäre, transparente und unabhängige Forschungsinitiative unerlässlich. Die beschriebenen Strukturphänomene sind beobachtbar, nachvollziehbar und probenübergreifend konsistent. Ihre medizinischen und technologischen Implikationen erfordern eine unverzügliche und offene Überprüfung.

Literaturverzeichnis

- Akyildiz, I. F., Pierobon, M., Balasubramaniam, S., & Koucheryavy, Y. (2015). Das Internet der Bio-Nano-Dinge. *IEEE Communications Magazine*, 53 (3), 32–40. <https://doi.org/10.1109/MCOM.2015.7060516>
→ Schlüsselkonzept für IoBNT, bei dem biologische Systeme mit programmierbaren Nano-Kommunikationssystemen interagieren.
- Cipelli, R., Giovannini, F., & Pisano, G. (2022). Dunkelfeldmikroskopie zeigt Anomalien im Blut von Personen, die gegen COVID-19 geimpft wurden. *International Journal of Vaccine Theory, Practice, and Research*, 2 (2), 385–444. <https://ijvtp.com/index.php/IJVTPr/article/view/46>
- Hughes, D. (2022). Was ist in den sogenannten COVID-19-„Impfstoffen“ enthalten? Teil 1: Beweise für ein globales Verbrechen gegen die Menschlichkeit. *International Journal of Vaccine Theory, Practice, and Research*, 2 (2), 455–586. <https://doi.org/10.56098/ijvtp.v2i2.52>

Hughes, D. A. (2024). COVID-19: Psychologische Operationen und der Krieg um die Technokratie. Palgrave Macmillan. <https://dhughes.substack.com/p/covid-19-psychological-operations>

Kyrie, V., & Broudy, D. (2022). Cyborgs R Us: Das Bio-Nano-Panoptikum injizierter Körper? *International Journal of Vaccine Theory, Practice, and Search*, 2(2), 356–387. <https://doi.org/10.56098/ijvtpr.v2i2.49>

→ Wird zitiert für das Konzept der epistemischen Unsichtbarkeit und die Logik des „Bio-Nano-Panoptikums“, die sich unterhalb institutioneller Schwellen verbirgt.

Lee, Y. M., & Broudy, D. (2024a). Echtzeit-Selbstassemblierung stereo-mikroskopisch sichtbarer, künstlicher Konstruktionen in inkubierten Proben von mRNA-Produkten. *International Journal of Vaccine Theory, Practice, and Research*, 3(2), 1180–1244. <https://doi.org/10.56098/586k0043>

→ Dokumentiert visuell beobachtbare Selbstassemblierung in Impfstoffmaterialien.

Nixon, D. (2025b). Nano Makes Micro: Emergent Structural Logic Across Pharmaceutical and Biological Systems. *Journal für Bionanotechnokratie: Countdown to 2030*, 1 (1), 113–197.

<https://www.journalbnt.org>

→ Definiert die „Triphasische Signatur“ (Vesikel-Kristall-Kolloid-Koordination) – verwendet zur Interpretation des Triplett-MAC-Emissionsverhaltens.

Schwille, P. (2011). Bottom-up Synthetische Biologie: Engineering in einer Welt der Tüftler. *Science*, 333(6047), 1252–1254. <https://www.science.org/doi/10.1126/science.1211701>

→ Diese Arbeit befürwortet die Bottom-up Synthetische Biologie als Paradigma zur Neubetrachtung biologischer Komplexität, wobei modulares Engineering und minimale Systeme hervorgehoben werden.

Danksagung

Ich möchte der Xstra Technologies Group und den Abonnenten des NixonLab Substack meinen aufrichtigen Dank für ihre wertvolle Unterstützung und Beiträge zu dieser Forschung aussprechen. Besonderer Dank gilt den Micronauts und denjenigen, die Bildmaterial zu dieser Arbeit beigetragen haben: Steve Clough, C.M., Karl C. und Delina B. Die in dieser Arbeit präsentierten Ansichten, Meinungen und Schlussfolgerungen sind ausschließlich meine eigenen.

Erklärung zu Interessenkonflikten

Diese Forschung wurde unabhängig durchgeführt, ohne dass externe Einflüsse die präsentierten Daten oder Schlussfolgerungen beeinflussten. Obwohl ein Teil der Einnahmen aus Abonnements meiner persönlichen Substack-Publikation generiert wird, beeinträchtigt dies nicht die Integrität oder Objektivität der Studie. Es werden keine weiteren Interessenkonflikte gemeldet.

Urheberrechtshinweis

© 2025 David Nixon. Alle Rechte vorbehalten.

Diese Arbeit darf für nichtkommerzielle, Bildungs- oder Forschungszwecke frei geteilt, reproduziert oder übersetzt werden, sofern eine angemessene Quellenangabe erfolgt. Die Weiterverbreitung von Bildern oder Texten in veränderten oder abgeleiteten Werken setzt ebenfalls die Nennung der Originalquelle voraus. Die kommerzielle Vervielfältigung, einschließlich der Nutzung in Produkten oder Publikationen zur Gewinnerzielung, bedarf der vorherigen schriftlichen Genehmigung des Autors. Für Lizenzen oder Genehmigungen wenden Sie sich bitte an: david@drdavidnixon.com.

Diese Arbeit wurde ausschließlich privat finanziert.

Bitte besuchen Sie meine Webseite: www.drdavidnixon.com für weitere Bilder und Videos sowie meinen Substack: davidnixon.substack.com

Glossar

Angularer Toroid

Eine Unterklasse toroidaler Strukturen, die sich durch eine nicht-uniforme oder segmentierte Geometrie auszeichnet und oft eher polygonal als kreisförmig erscheint. Die hier dokumentierten angularen Toroide lassen auf ein Templat-Design schließen und könnten höherwertige morphogene Anweisungen widerspiegeln.

Anomale Strukturen Ungewöhnliche oder unerwartete Formationen, die von typischen Kristallisations- oder Signalmustern abweichen und häufig auf ein synthetisches Design oder externe Einflüsse hindeuten.

Zuordnungsfehler Die Unfähigkeit, eine Bluetooth-MAC-Adresse unter Verwendung von Standard-Lookup-Methoden (wie OUI-Datenbanken) einem bekannten Gerät, Hersteller oder Dienst zuzuordnen. In dieser Studie weist ein Zuordnungsfehler darauf hin, dass eine MAC-Adresse zwar strukturell gültig ist, aber keiner kommerziellen Entität oder Hardwarequelle zugeordnet werden kann, was auf einen synthetischen oder nicht standardkonformen Ursprung schließen lässt. Dies bedarf weiterer Untersuchung.

Bio-Nano-Kommunikationsschnittstelle Eine hypothetische Interaktionszone, in der biologische oder synthetische Materialien möglicherweise drahtlose Signalübertragung zeigen und so einen Teil eines dezentralen Kommunikationsnetzwerks bilden könnten.

Bio-Nano-Kommunikationsnetzwerke Hypothetische oder sich entwickelnde Systeme, in denen nanoskalige oder biologische Einheiten elektromagnetische Signale aussenden oder drahtlos interagieren und potenziell dezentrale oder eingebettete Kommunikationsschichten bilden. Dies erfordert eingehende Untersuchungen.

Bio-Nano-Schnittstellen Die Schnittstelle zwischen biologischen Systemen und nanoskaligen Materialien, an der Wechselwirkungen zu organisierten Strukturen oder funktionellen Verhaltensweisen führen können.

BLE (Bluetooth Low Energy) Ein energieeffizientes Funkprotokoll, das häufig in ortsbezogenen Anwendungen eingesetzt wird. BLE war der in passiven Scans verwendete Standard, der anomale MAC-Emissionen detektierte.

Bio-digitale Schnittstelle Die Konvergenzzone, in der biologische Systeme mit digitalen Technologien interagieren, darunter eingebettete Sensoren, drahtlose Kommunikationssysteme und programmierbare Nanomaterialien. Die Erforschung dieser Schnittstelle ist von entscheidender Bedeutung. Dies stellt eine neue Grenze in Bezug auf Überwachung, Kontrolle und biologische Augmentation dar.

Biophotonische Resonanzeinheit

Eine vorgeschlagene Klassifizierung für Strukturen, die biologische oder pharmazeutische Materialien mit optischer oder elektromagnetischer Resonanzfähigkeit verbinden. Angesichts ihrer Organisation, Kompartimentierung und lichtinteraktiven Eigenschaften stellt die in dieser Studie beobachtete kristalline Formation ein vielversprechendes Beispiel dar.

Bitfeldkonstanz Das Phänomen, bei dem spezifische Bitpositionen über mehrere MAC-Adressen hinweg identisch bleiben, was die zufällige Erwartung deutlich übersteigt. Diese strukturelle Wiederholung lässt auf einen schablonengebundenen oder programmierten Ursprung schließen.

C₆₀-induzierte Klärung

Eine Phase struktureller Verfeinerung, die nach Zugabe eines Fulleren-basierten Öls (C₆₀) beobachtet wurde und den optischen Kontrast, die Randschärfe sowie die Sichtbarkeit von Substrukturen verbessert. In dieser Studie ermöglichte die Behandlung mit C₆₀ eine klarere Differenzierung toroidaler Formationen und der Dynamik vesikulärer Ränder.

Kapillarströmungen Fluidbewegung innerhalb eines Tropfens, angetrieben durch Oberflächenspannung und Verdunstungsdynamik, die Partikel umverteilt und die Selbstassemblierung beeinflusst.

Kreis-Rechteck-Motive Wiederkehrende geometrische Merkmale, charakterisiert durch präzise kreisförmige und rechteckige Anordnungen mit hierarchischer und fraktaler Organisation.

Koazervate Durch Flüssig-Flüssig-Phasentrennung entstandene, phasentrennte Tröpfchen, die häufig mit Vorläufern organisierter oder selbstassemblierender Systeme assoziiert sind.

Kolloidale Partikel Kleine Partikel, die in einem flüssigen Medium suspendiert sind und als Zwischenprodukte in Selbstassemblierungsprozessen fungieren, wodurch Nano- und Mikrobereiche verbunden werden.

Komplexe Selbstassemblierung Die spontane Bildung komplexer, organisierter Strukturen aus einfachen Komponenten, oft beeinflusst durch Umweltfaktoren, externe Felder oder interne Programmierung.

Deckglas-Restriktion

Der Einfluss eines Deckglases auf einen liegenden Tropfen, der die Verdunstungsdynamik, die Flüssigkeitsverteilung sowie die Klarheit oder Komplexität der beobachteten Strukturen verändert. Führt häufig zu einer verbesserten geometrischen Definition und verstärkten strukturellen Schichtung.

Kristall-Faser-Anordnungen (KFAs) Einzigartige Faser-Kristall-Strukturen in pharmazeutischen Präparaten, die eine organisierte und hierarchische Selbstassemblierung aufzeigen.

Kristalline Formationen Strukturierte, geometrische Anordnungen von Partikeln, die durch Verdunstungs- und Kristallisationsprozesse innerhalb einer Probe entstehen.

Dunkelfeldmikroskopie (DFM) Eine Mikroskopietechnik, die den Kontrast in transparenten Proben durch Beleuchtung mit Streulicht verstärkt und somit feine Details sichtbar macht.

Deterministische Identitätskonstruktion Der Prozess, bei dem identische MAC-Adressen geräteübergreifend erzeugt werden, wenn diese dem gleichen strukturierten Signal ausgesetzt sind, unter der Annahme einer konsistenten BLE-Erkennungslogik.

Diagnostische Heuristiken Vorprogrammierte Muster und logische Regeln, die in BLE-Diagnosetools eingebettet sind und zur Interpretation von MAC-Adressen und Datennutzlasten dienen. Verdeckt häufig neuartige synthetische Identitäten, indem eine Zuordnung zu bekannten Geräteklassen erzwungen wird.

Demontage Der Prozess, bei dem selbstassemblierte Strukturen zerfallen oder sich neu organisieren, was ein reversibles und dynamisches Verhalten zeigt.

Dynamische Umverteilung Die aktive Bewegung und Neuausrichtung von Partikeln innerhalb einer Probe, beeinflusst durch externe Faktoren wie magnetische Felder oder elektromagnetische Felder.

Dynamische Selbstassemblierung Eine Form der Selbstassemblierung, die durch kontinuierliche Bewegung, Anpassung und Reorganisation von Komponenten im Zeitverlauf gekennzeichnet ist.

Verkapselungsereignisse

Die dynamische Bildung von geschlossenen oder teilweise geschlossenen vesikelartigen Strukturen um Partikel, Fasern oder kristalline Kerne. Diese Ereignisse legen eine aktive Grenzflächenbildung während der Selbstassemblierung nahe, die potenziell mit Materialsortier- oder Abschirmfunktionen verbunden ist.

Elektromagnetische Felder (EMF) Energiefelder, die die Ausrichtung, Bildung oder Reorganisation selbstassemblierender Strukturen beeinflussen.

Emitter-Resonator-Architektur

Eine räumliche Konfiguration, in der unterschiedliche Bereiche einer Struktur komplementäre Signalisierungsfunktionen übernehmen – beispielsweise die Erzeugung (Emitter) und Verstärkung oder Formung (Resonator) eines Signals. Dies wurde in theoretischen Nano-Netzwerken postuliert und spiegelt sich in der beobachteten Morphologie des Vier-Kammer-Kristalls wider.

Engine-Meccano-Assemblies Komplexe, miteinander verbundene Strukturen, die an mechanische Baugruppen erinnern und dynamisch mit ihrer Umgebung interagieren.

Entropiedynamik (Verändert) Abweichungen von der erwarteten Zufälligkeit in den Zeichenverteilungen von MAC-Adressen, die zu eingeschränkten Entropiewerten und wiederholten Strukturmustern führen. Diese veränderte Dynamik dient als wichtiger Marker für strukturierte Emissionen.

Entropiemodulation Eine zyklische oder gemusterte Variation der statistischen Entropie emittierter MAC-Adressen, die auf einen möglichen zugrunde liegenden Rhythmus oder einen Zustandsübergangsmechanismus schließen lässt.

Entropieprofil Ein Maß für die Zufälligkeit oder Komplexität in der hexadezimalen oder binären Struktur einer MAC-Adresse. Hohe oder niedrige Entropiewerte können auf gezielte Formatierungsbeschränkungen hindeuten.

Exzipienten Substanzen, die in pharmazeutischen Formulierungen enthalten sind und traditionell als inaktiv gelten, jedoch das Verhalten selbstassemblierender Materialien beeinflussen können. Ihre Bedeutung für die Materialorganisation, Vesikeldynamik und potenzielle synthetische Designs wird zunehmend untersucht.

Hybride Kriegsführung der fünften Generation Ein konzeptioneller Rahmen, der die Konvergenz technologischer, psychologischer, biologischer und informationeller Bereiche in modernen Konflikten beschreibt. Dient hier dazu, das Auftreten verdeckter drahtloser Systeme als potenziell mit fortschrittlichen Formen strategischer Einsatzszenarien in Verbindung zu bringen.

Firmware-Opazität Ein Zustand, in dem der Code, der den BLE-Funkbetrieb steuert, verschlüsselt, proprietär oder anderweitig unzugänglich ist, wodurch eine externe Überprüfung des Emissions- oder Empfängerhaltens verhindert wird.

Fraktalähnliche Eigenschaften Muster, die Selbstähnlichkeit und Komplexität über verschiedene Skalen aufweisen und häufig in "Kreis-Rechteck-Motive" beobachtet werden.

Fraktale Stratifizierung

Eine geschichtete, skalenrekursive Anordnung innerhalb selbstassemblierter Formationen, bei der sich geometrische Motive wie Rechtecke oder Kreise über verschiedene räumliche Skalen wiederholen, was auf eine hierarchische Kodierung oder ein Templat-Design schließen lässt.

Granulare Matrix Ein texturierter Hintergrund, der sich aus kleinen Partikeln zusammensetzt, welche mit selbstassemblierenden Strukturen interagieren.

Häufig wiederkehrende MAC-Adressen MAC-Adressen, die wiederholt in Scans auftreten, was auf Persistenz und potenziell unbekannte Emissionsquellen schließen lässt.

Hierarchische Organisation Strukturelle Organisation über mehrere Skalen, von der Nano- bis zur Mikroskala, mit verschachtelten oder sich wiederholenden Mustern.

Hydrodynamische Strömung Die Bewegung einer Flüssigkeit innerhalb eines Tropfens oder Systems, welche die Partikelverteilung und strukturelle Ausrichtung während der Verdunstung beeinflusst.

Identitätsstruktur Das zugrunde liegende Muster oder System, durch das MAC-Adressen und OUI-Präfixe generiert oder zugewiesen werden. In diesem Kontext wird das Auftreten einer neuen Namensgebungs- oder Broadcasting-Logik hervorgehoben, die inkompatibel mit bestehenden BLE-Ökosystemen ist.

Internationale Fernmeldeunion (ITU)

Die Organisation der Vereinten Nationen, die für die globale Koordination der Nutzung des Funkfrequenzspektrums, der Telekommunikationsstandards und der Satellitenbahnen verantwortlich ist. Über ihre Sektoren ITU-R (Funkkommunikation) und ITU-T (Telekommunikationsstandardisierung) regelt sie die Frequenzzuteilung für drahtlose Technologien, einschließlich drahtloser Körpernetze (Wireless Body Area Networks, WBANs).

Intervallstratifikation Die Organisation emittierter Signale in festen Zeitbereichen – beispielsweise 100 ms, 180 ms oder 2000 ms – deutet auf eine rollenbasierte Emissionslogik innerhalb eines verborgenen Broadcasting-Systems hin.

Kernel Density Estimate (KDE) Eine statistische Methode zur Schätzung der Wahrscheinlichkeitsdichtefunktion einer Zufallsvariable. Wird hier zur Visualisierung von Entropieverteilungen in MAC-Datensätzen verwendet.

Schichtungsverfahren Die Technik des Aufbaus mehrerer Schichten einer Probe, um die Sichtbarkeit von Strukturformationen während der Mikroskopie zu erhöhen.

Lineare Strukturen Geradlinige, längliche Formationen, die in selbstassemblierenden Systemen beobachtet werden und häufig durch magnetische oder elektromagnetische Felder beeinflusst werden.

MAC-Adresse Eine eindeutige Kennung, die Bluetooth-fähigen Geräten zugewiesen wird. In dieser Studie beziehen sich nicht registrierte MAC-Adressen auf solche, die keinem bekannten Hersteller oder kommerziellen Gerät zugeordnet werden können.

MAC-Adressen-Clustering Das wiederholte Auftreten ähnlicher MAC-Adressstrukturen innerhalb eines Datensatzes, das häufig auf eine gemeinsame Quelle oder ein koordiniertes Verhalten hindeutet.

Magnetische Ansprechbarkeit Die Fähigkeit bestimmter Strukturen oder Partikel, sich in Reaktion auf magnetische Felder auszurichten, zu gruppieren oder zu bewegen.

Materialaggregation Die Ansammlung von Partikeln während der Selbstassemblierung, die zur Bildung organisierter Strukturen beiträgt.

Materialumverteilung Die Bewegung und Neupositionierung von Partikeln während der Tröpfchenverdunstung, angetrieben durch Kapillarkräfte.

Medical Implant Communication Service (MICS)

Ein global von der ITU zugewiesenes Frequenzband (402–405 MHz) für drahtlose Ultra-Low-Power-Kommunikation zwischen medizinischen Implantaten und externen Geräten. MICS unterstützt den körpernahen Datenaustausch über kurze Distanzen mit minimalem Interferenzrisiko und ermöglicht Funktionen wie Herzschrittmachertelemetrie, Biosensor-Relais und diagnostische Uplinks innerhalb drahtloser Körpernetze (Wireless Body Area Networks, WBANs).

Micro-Engine Sphärische, schwarze, bewegliche Strukturen, die während der Selbstassemblierung den Materialtransfer oder die strukturelle Reorganisation anzutreiben scheinen.

Micro-Meccano Stabförmige oder winkelförmige Strukturen, die den Selbstassemblierungsprozess lenken oder steuern und oft dynamisches Verhalten zeigen.

Modulare, kristalline Einheit

Eine strukturell distinkte Formation, die aus mehreren diskreten Kompartimenten oder Kammern besteht, welche oft räumlich symmetrisch oder funktional getrennt angeordnet sind. In dieser Studie wurde eine modulare Vierkammer-Einheit beobachtet, die zentrale photonische Toroiden und periphere optisch inerte Regionen enthielt, was auf eine Emitter-Resonator-Logik schließen lässt.

Motivwiederholung

Das wiederholte Auftreten spezifischer struktureller Anordnungen (z. B. CFAs oder CRMs) in verschiedenen Proben, Vergrößerungen und Substanzen deutet auf ein nicht-zufälliges, reproduzierbares Verhalten hin, das mit einer eingebetteten Assemblierungslogik konsistent ist.

Nano macht Mikro Das Prinzip, dass nanoskalige Komponenten sich zu beobachtbaren mikrostrukturellen Strukturen aggregieren können.

Narrative Filterung Ein Begriff, der beschreibt, wie diagnostische Werkzeuge (z. B. nRF Connect) anomale Emissionen durch fest einprogrammierte Logik neu interpretieren, die unbekanntes MAC-Adressen bekannten Marken zuordnet und so deren tatsächliche Struktur maskiert.

Verschachtelte Assemblierungsarchitektur

Die rekursive Bildung geometrischer oder kristalliner Einheiten innerhalb größerer Strukturen, die einen hierarchischen, schablonenartigen Prozess der Materialorganisation widerspiegelt. Dieses Muster eines verschachtelten Designs deutet auf einen skalierbaren Bauplan hin, der die Selbstassemblierung von Nano- bis Mikrobereichen steuert, wobei jede strukturelle Ebene grundlegende geometrische Prinzipien widerspiegelt.

Nukleierung Der initiale Prozess, bei dem sich Partikel oder Moleküle zusammenlagern, um die Grundlage einer größeren Struktur oder eines Kristalls zu bilden.

Organisationally Unique Identifier (OUI) Die ersten 24 Bits (oder die ersten 3 Paare von Hexadezimalzeichen) einer Bluetooth- oder MAC-Adresse, die zur Identifizierung des Herstellers oder Anbieters eines Geräts verwendet werden. OUIs werden vom IEEE registriert und vergeben. Wenn eine MAC-Adresse nicht zu einer bekannten OUI aufgelöst werden kann, deutet dies darauf hin, dass das

Gerät nicht registriert, kein übliches Konsumgerät oder gefälscht ist. In der vorliegenden Studie stimmten über 99 % der im Jahr 2025 detektierten OUIs nicht mit denen von 2022 überein, was eine strukturelle Veränderung in der Zuweisung von Identitäten impliziert.

OUI-Auflösung Die Auflösung des Organisationally Unique Identifier (OUI) bezeichnet den Prozess der Verknüpfung einer MAC-Adresse mit einem bekannten Hersteller. Nicht aufgelöste OUIs legen nicht registrierte oder unbekannte Quellen nahe.

Optische Eigenschaften Charakteristika von Materialien, wie Reflexionsgrad oder Transparenz, die unter spezifischen Mikroskopie-Techniken, wie der Dunkelfeldmikroskopie, sichtbar werden.

Panoptikum Ursprünglich von dem Philosophen Jeremy Bentham als kreisförmiger Gefängnisentwurf konzipiert, der es einem einzelnen Wächter ermöglicht, alle Insassen ohne deren Wissen zu überwachen, hat sich der Begriff zu einer Metapher für systemische, unsichtbare Überwachung entwickelt. In dieser Arbeit bezieht sich der Begriff auf die entstehende Architektur, in der biologische Wesen in eine allgegenwärtige Sensor- und Rundfunkinfrastruktur eingebettet sind, oftmals ohne deren Wissen oder Zustimmung. Sobald die bio-digitale Schnittstelle etabliert ist, argumentieren Kyrie und Broudy, dass Infrastruktur nicht nur beobachtbar, sondern auch beobachtend wird.

Payload Modulation Variationen im Inhalt von BLE-Paketen, die konsistenten Strukturregeln folgen – oft beobachtet als gespiegelte Muster oder Byte-Rotationen –, legen eine interne Formatierungslogik und Rollendifferenzierung nahe.

Phase Transitions Änderungen im Zustand oder der Organisation von Materialien, beispielsweise von flüssig zu fest oder amorph zu kristallin, beeinflussen häufig Selbstassemblierungsprozesse.

Photonic Compartment

Ein begrenzter Bereich innerhalb einer größeren kristallinen oder modularen Struktur, der optische Eigenschaften aufweist – wie Reflexion, Resonanz oder Lichtstreuung –, deutet auf eine Rolle bei der Signalmodulation oder Energieinteraktion hin. In dieser Arbeit werden toroidförmige Strukturen, die in zentralen Kristallkammern enthalten sind, aufgrund ihrer geschichteten, lichtreaktiven Geometrie als photonische Kompartimente betrachtet.

Plugged-In Phenomenon Ein Begriff zur Beschreibung des visuellen Erscheinungsbilds einer kristallinen Faser, die eine stabile Verbindung mit einer Kristallstruktur eingeht, möglicherweise in Verbindung mit dem Auftreten oder der Modulation von MAC-Signalen.

Programmierbare Assemblierung Das Konzept, nanoskalige Komponenten so zu gestalten, dass sie sich durch eingebettete oder vordefinierte Anweisungen selbstorganisiert zu gewünschten Strukturen zusammenfügen.

Programmierte Morphogenese

Die Hypothese, dass selbstassemblierende Strukturen, die mittels SDE und DFM beobachtet werden, auf vorab geladene, anweisungsgesteuerte Organisation zurückzuführen sind, möglicherweise ausgelöst durch Umgebungsbedingungen wie Verdunstungsrate, räumliche Beschränkung oder EMF-Exposition.

Empfängerseitiges Rendering Ein Prozess, bei dem strukturierte Signale einen Bluetooth Low Energy (BLE)-Stack dazu veranlassen, intern synthetische MAC-Adressen zu erzeugen – ohne Vorhandensein eines sendenden Geräts. Identität basiert auf Signalmustererkennung und nicht auf dem Ursprung der Übertragung. Dieser Prozess ähnelt empfangergesteuerten Protokollen, wie sie in Modellen für Nano-Netzwerke vorgeschlagen werden (z. B. PHLAME), bei denen der Empfänger minimale Emissionen als vollständige Identitäten interpretiert und somit Präsenz konstruiert, anstatt eine Übertragung zu detektieren.

Rekonstitution nach Auflösung

Das Phänomen, bei dem kristalline oder modulare Strukturen nach partiellem Abbau oder Wiedereinführung einer Flüssigkeit wieder erscheinen – was auf Reversibilität und ein Gedächtnis in der Assemblierungslogik schließen lässt.

Reflektierende Mikrostrukturen Helle, reflektierende Formationen, die mittels Dunkelfeldmikroskopie beobachtet werden und auf organisierte oder gezielt entwickelte Materialeigenschaften hindeuten.

Reaktion auf elektromagnetische Felder Das Verhalten selbstassemblierender Strukturen, das durch elektromagnetische Felder beeinflusst oder gesteuert wird und die Kristallisationsdynamik beeinflusst.

Reversible Assemblierung Die Fähigkeit von Strukturen, sich dynamisch zusammenzufügen und wieder zu zerlegen, häufig als Reaktion auf Umwelteinflüsse.

RSSI (Received Signal Strength Indicator) Eine Metrik zur Messung der Signalstärke eines empfangenen Signals. Wird hier verwendet, um die Nähe und Konsistenz anomaler MAC-Emissionen zu verfolgen.

Selbstassemblierung Die spontane Organisation von Partikeln oder Komponenten zu strukturierten Formationen, angetrieben durch intrinsische oder extrinsische Kräfte.

Sessile Droplet Evaporation (SDE) Eine Analysetechnik, bei der ein Flüssigkeitstropfen auf ein Substrat aufgebracht und unter Umgebungsbedingungen verdunsten gelassen wird. Dieses Verfahren offenbart Materialeigenschaften wie Kapillarfluss, Vesikelclusterbildung und strukturierte Kristallisation und ermöglicht die direkte Beobachtung von Selbstassemblierungsmechanismen.

Signal Class Eine Kategorie oder ein Typ drahtloser Emissionen, definiert durch konsistente Eigenschaften wie Wiederholungsrate, Signalstärke, Entropie und Ursprung. Wird hier verwendet, um eine mögliche, neuartige Form der BLE-Übertragung zu beschreiben, die nicht bekannten Endgeräten zugeordnet werden kann.

Signalinduzierte Identitätssynthese Die Erzeugung einer MAC-Adressen-Identität innerhalb des BLE-Empfänger-Stacks als Reaktion auf eine externe Emission, die mit definierten strukturellen Schwellenwerten übereinstimmt. Deutet darauf hin, dass die Illusion einer Identität durch die interne Protokolllogik geprägt wird.

Signalrezidiv Das wiederholte Auftreten spezifischer MAC-Adressen in mehreren Scans oder Sitzungen, was auf eine persistente oder programmierte Emissionsquelle schließen lässt.

Strukturierte Entropie-Suppression

Ein statistisches Muster, bei dem sich die Entropiewerte von MAC-Adressen in schmalen Bereichen (z. B. 2,5–2,86) häufen, was einer Zufallsverteilung widerspricht und auf systemische Beschränkungen bei der Adressgenerierung hindeutet.

Struktur motive Wiederkehrende Muster oder geometrische Merkmale innerhalb selbstassemblierter Strukturen, beispielsweise „Kreis-Rechteck-Motive“.

Oberflächenspannungsdynamik Die Rolle der Oberflächenspannung bei der Beeinflussung von Partikelbewegungen und der Materialaggregation innerhalb verdunstender Tropfen.

Synthetische Nano-Netzwerkschicht (SNL) Eine verdeckte, strukturierte Schicht drahtloser Emissionen, charakterisiert durch nicht registrierte MAC-Adressen, stabile RSSI-Werte, veränderte Entropie-Dynamiken, Intervallfixierung, Bitfeld-Konstanz und vorlagenbasierte Payload-Strukturen. SNL operiert außerhalb konventioneller Bluetooth-Protokolle.

und könnte eingebettete oder biointegrierte Übertragungssysteme widerspiegeln. Es ist durch Proximity-Scanning detektierbar, entzieht sich jedoch der Zuordnung über Standard-Hersteller- oder Gerätedatenbanken.

Templated Emission Ein strukturiertes Signal, das einem wiederholbaren Muster in Entropie, Zeitverhalten und Bitstruktur folgt, was darauf hindeutet, dass es gemäß einem vordefinierten Schema generiert und nicht zufällig emittiert wurde.

Zeitraffer-Bildgebung Eine Mikroskopie-Technik zur Erfassung fortschreitender Veränderungen in einem System, die dynamische Prozesse wie Selbstassemblierung oder Disassemblierung sichtbar macht.

Toroidaler Resonator

Eine geschlossene, ringförmige Struktur mit interner Winkelsymmetrie, die vermutlich als Resonanzkörper oder Signalmulator fungiert. Die in dieser Studie beobachteten Toroiden zeigen eine deutliche geometrische Schichtung und sind in kristallinen Kompartimenten eingeschlossen, was an Komponenten erinnert, die in synthetischen Nanonetzwerk-Modellen beschrieben sind.

Triphasische Signatur

Ein wiederkehrendes und koordiniertes Muster struktureller Entstehung, das in pharmazeutischen und biologischen Proben beobachtet wurde und aus drei miteinander verbundenen Komponenten besteht: Vesikeln, Kristallen und kolloidalen Partikeln. Diese Elemente treten in reproduzierbaren Sequenzen bei der Verdunstung sitzender Tropfen (SDE) auf und interagieren häufig dynamisch über verschiedene Skalen hinweg. Die Triphasische Signatur dient als diagnostischer Indikator für hierarchische Selbstassemblierung, programmierbares Materialverhalten und latente architektonische Logik innerhalb scheinbar inerter Formulierungen.

Tubuläre Strukturen Hohle, zylindrische Formationen, die in selbstassemblierenden Systemen beobachtet werden und potenziell durch externe Felder beeinflusst werden.

Nicht deklarierte Emissionsquellen Geräte oder Strukturen, die drahtlose Signale aussenden, welche nicht in öffentlichen Dokumentationen offengelegt sind, was auf verborgene oder verdeckte Technologien hindeutet.

Vesikel-Stab-Übergang

Ein dynamischer Prozess, der unter SDE beobachtet wird, bei dem sich sphärische, vesikelartige Strukturen zu stabförmigen Strukturen verlängern, oft vor der kristallinen Nukleierung oder Kantenbildung. Dieser Übergang könnte eine wichtige Zwischenstufe in der programmierbaren Morphogenese darstellen.

Vesikelartige Strukturen Sphärische, blasenähnliche Strukturen, die dynamisch mit anderen Strukturen interagieren und bisweilen magnetische Reaktivität zeigen.

Wireless Body Area Network (WBAN)

Ein drahtloses Nahbereichs-Kommunikationsnetzwerk, bestehend aus tragbaren, implantierten oder proximalen Sensoren und Geräten, die auf oder im menschlichen Körper betrieben werden. WBANs werden in der medizinischen Überwachung, Biometrie und für Schnittstellensysteme eingesetzt. Sie basieren auf extrem energiesparender Übertragung und arbeiten typischerweise in reservierten Frequenzbändern (z. B. MICS bei 402–405 MHz).

Zeta-Potential Ein Maß für das elektrische Potential an der Oberfläche kolloidaler Partikel, das deren Wechselwirkungen und Stabilität während der Selbstassemblierung beeinflusst.

Rechtlicher Hinweis

Die Informationen auf dieser Website und im Journal für Bionanotechnokratie: Countdown bis 2030 dienen ausschließlich Informations- und Bildungszwecken. Sie sind nicht als Diagnose, Behandlungsempfehlung, Präventionsstrategie oder Heilmittel für eine erwähnte medizinische Erkrankung, einen Eingriff oder ein Protokoll gedacht. Benutzern und Lesern – einschließlich Eltern, Erziehungsberechtigten, Betreuern, Klinikern oder anderen – wird geraten, ihr eigenes Urteilsvermögen anzuwenden und qualifizierte Fachkräfte bezüglich spezifischer Anwendungen oder Entscheidungen zu konsultieren.

Die beitragenden Autoren, Herausgeber und alle mit der Website und/oder dem Journal verbundenen Personen lehnen jegliche Haftung oder Verantwortung für Schäden, Verletzungen, finanzielle Verluste oder sonstige Folgen ab, die sich aus der Nutzung, Anwendung oder Auslegung der hierin enthaltenen Informationen, Suchergebnisse, Meinungen oder Schlussfolgerungen ergeben. Die Verantwortung für die Verwendung dieses Materials liegt allein beim Nutzer.

Das Material wird zur Einsicht und für akademische Untersuchungen frei zur Verfügung gestellt. Bei Zitaten, Bezugnahmen oder Nachdrucken sind die Nutzer verpflichtet, die Originalquelle bzw. den/die Autor/in anzugeben und die Bedingungen der Creative Commons Lizenz 4.0 NC ND oder einer anderen anwendbaren Lizenzvereinbarung einzuhalten. Die Verbreitung zu kommerziellen Zwecken oder in veränderter Form ist strikt untersagt.

Abschließende Betrachtung

In Systemen, die von Verschleierung geprägt sind, verschwindet die Wahrheit nicht – sie wird unterdrückt. Machtinhaber leugnen unbequeme Tatsachen nicht einfach; Sie erzeugen epistemisches Chaos, lenken Untersuchungen um und fordern von Kritikern die Erfüllung unerreichbarer Beweisstandards. Ihre eigenen Erklärungen bleiben jedoch unbelastet von Beweisen und sind durch institutionelle Beherrschung geschützt. In diesem Zusammenhang besteht die Pflicht eines gewissenhaften Beobachters nicht darin, das unvollständig Sichtbare zu beweisen, sondern das bereits Vorhandene, Reproduzierbare und mit offiziellen Darstellungen Unvereinbare zu beleuchten.



Dokument ins Deutsche übersetzt vom Team von M-Power Translations.

Telegram-Kanal:

<https://t.me/mpowertranslations>